

**Bem vindos
(remotamente ...)
ao LIP !**



**Experimental particle and
astroparticle physics**



**Development of new
instruments and methods**



Scientific computing



**Knowledge transfer,
education and outreach**

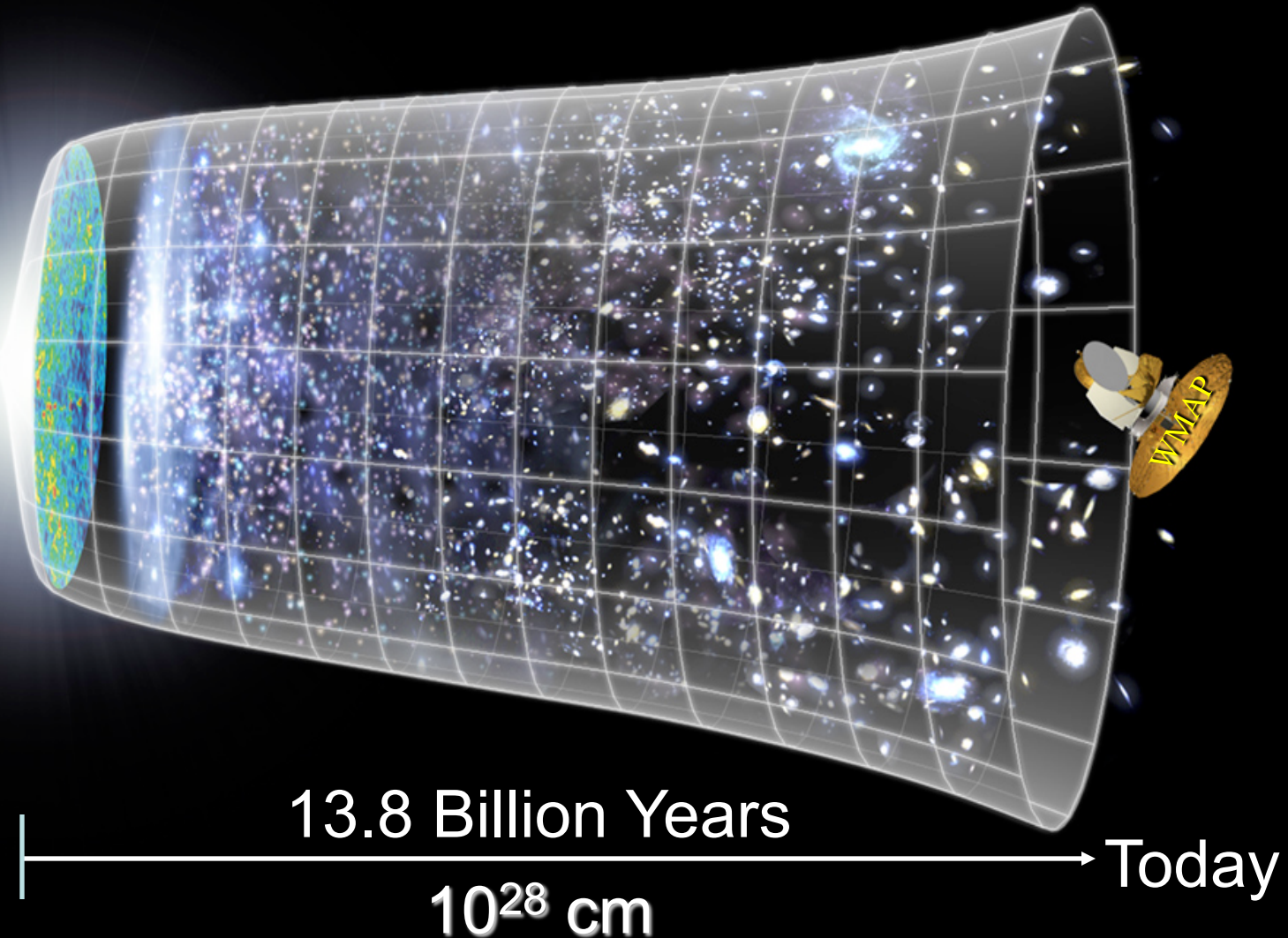
A aventura da Física de Partículas e Astropartículas



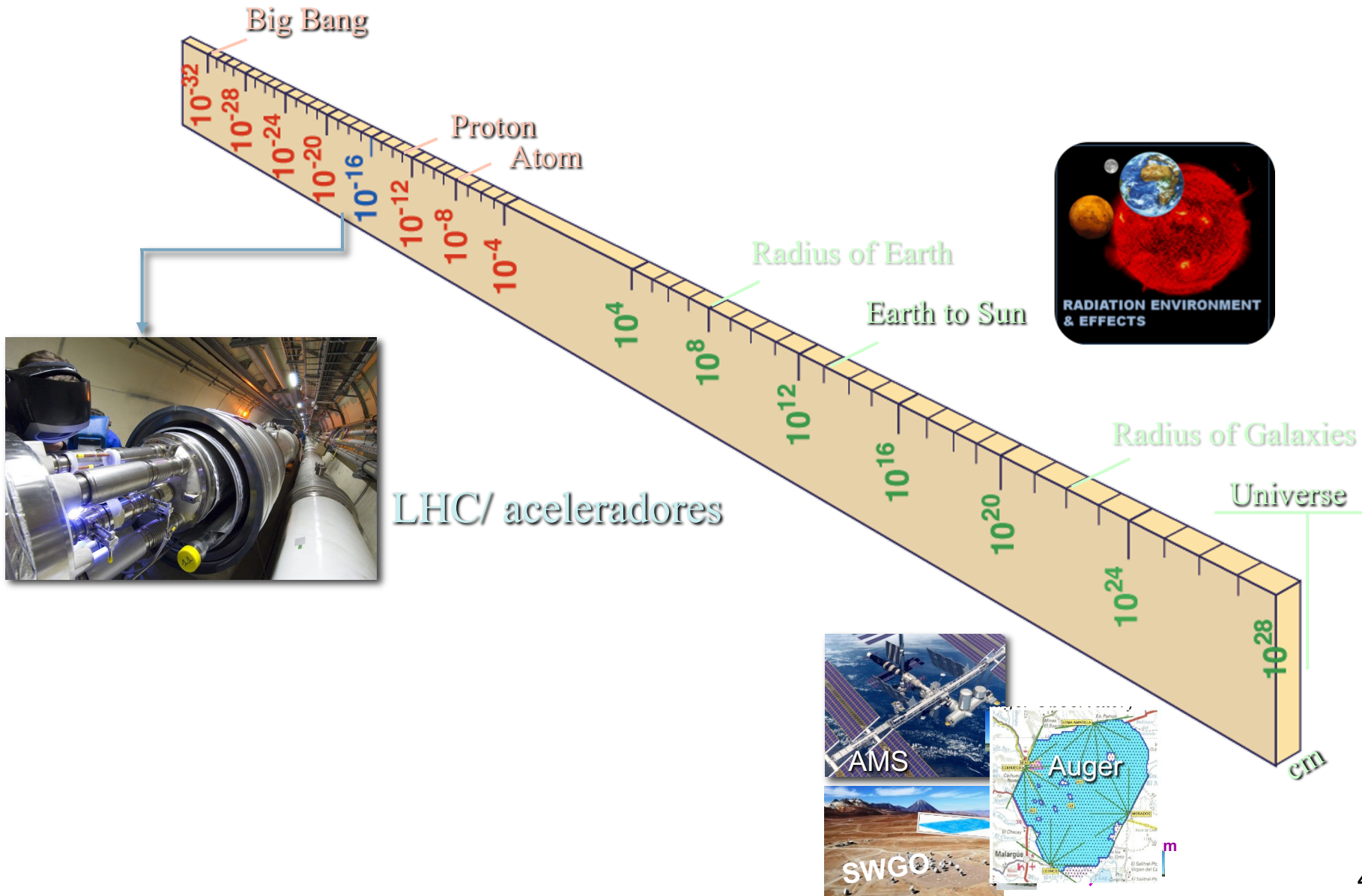
Mário Pimenta
Lisboa, Julho 2021

O Universo para compreender, ...

Big Bang



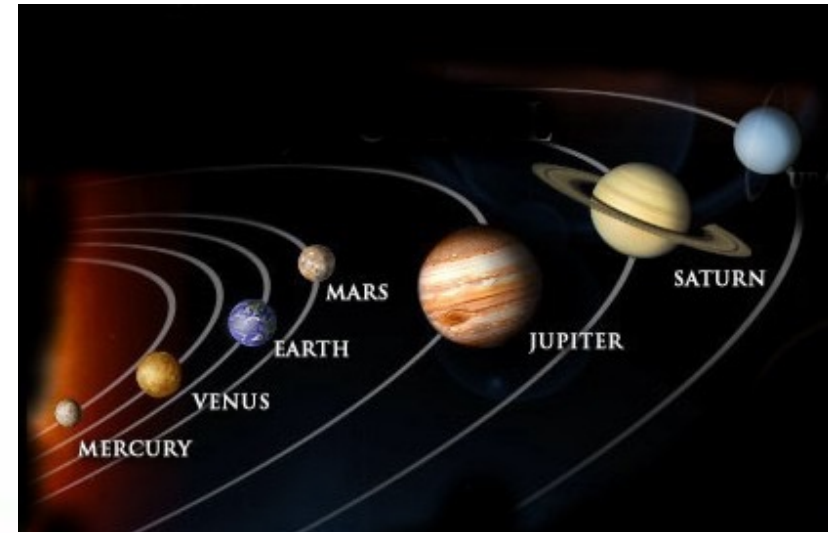
Escalas, ...



Da maçã ao Universo



I. Newton



Lei da atracção
Universal:

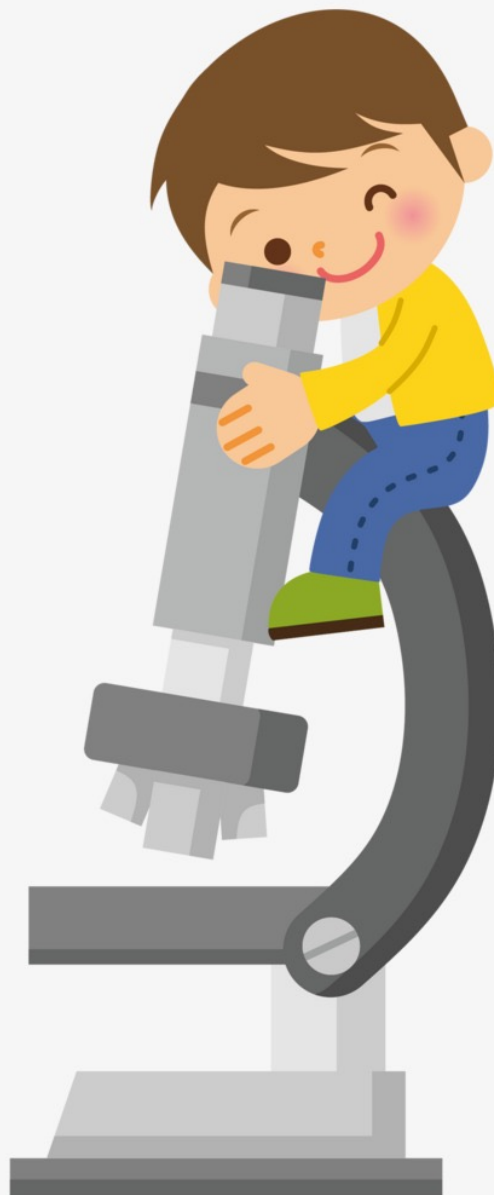
$$F = G \frac{m_{1g} m_{2g}}{r_{12}^2}$$

A gravidade !

Será que a maçã é
elementar?



Ver o interior da
maçã ???



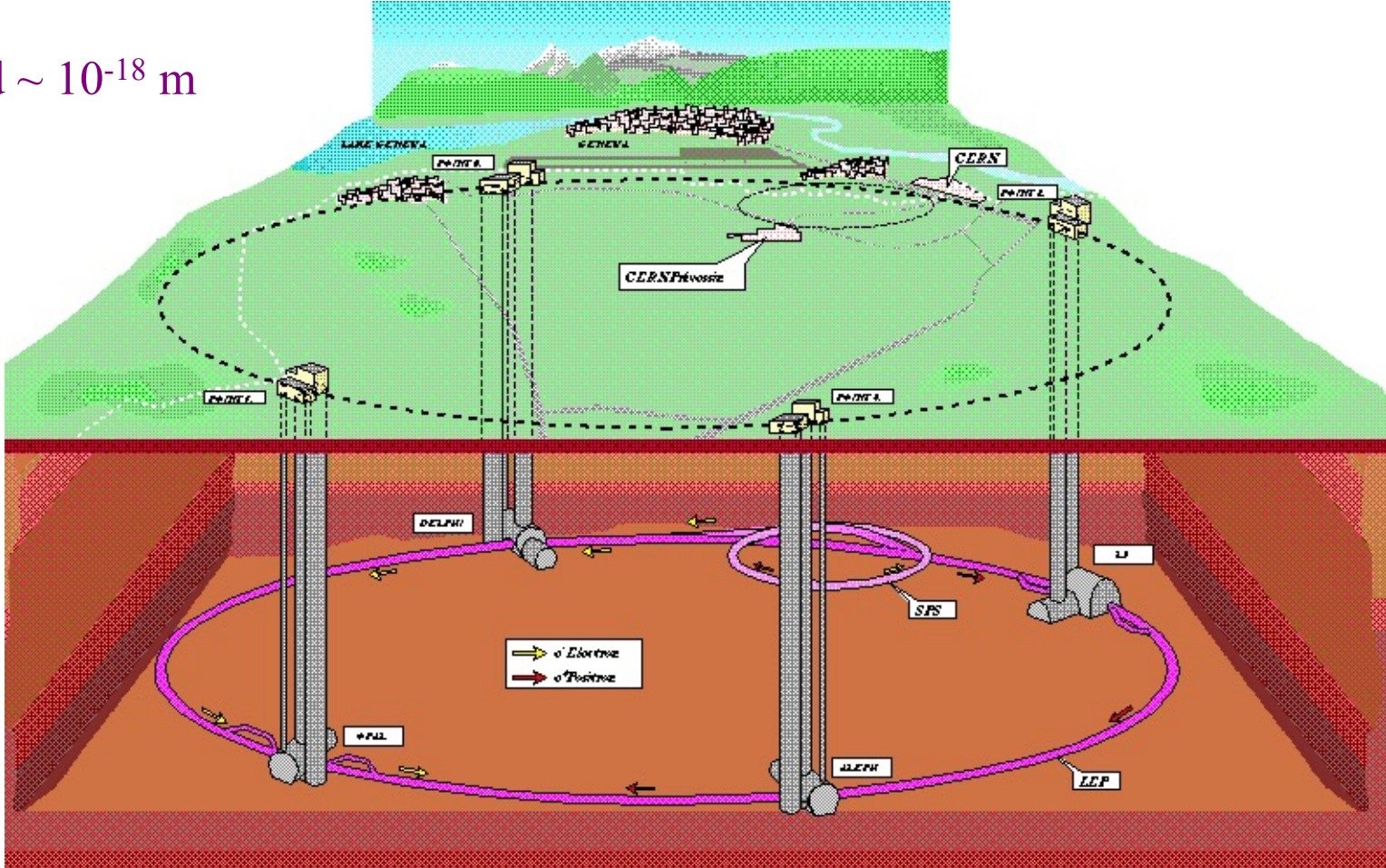
Ver com partículas

$$\lambda = \frac{h}{p}$$

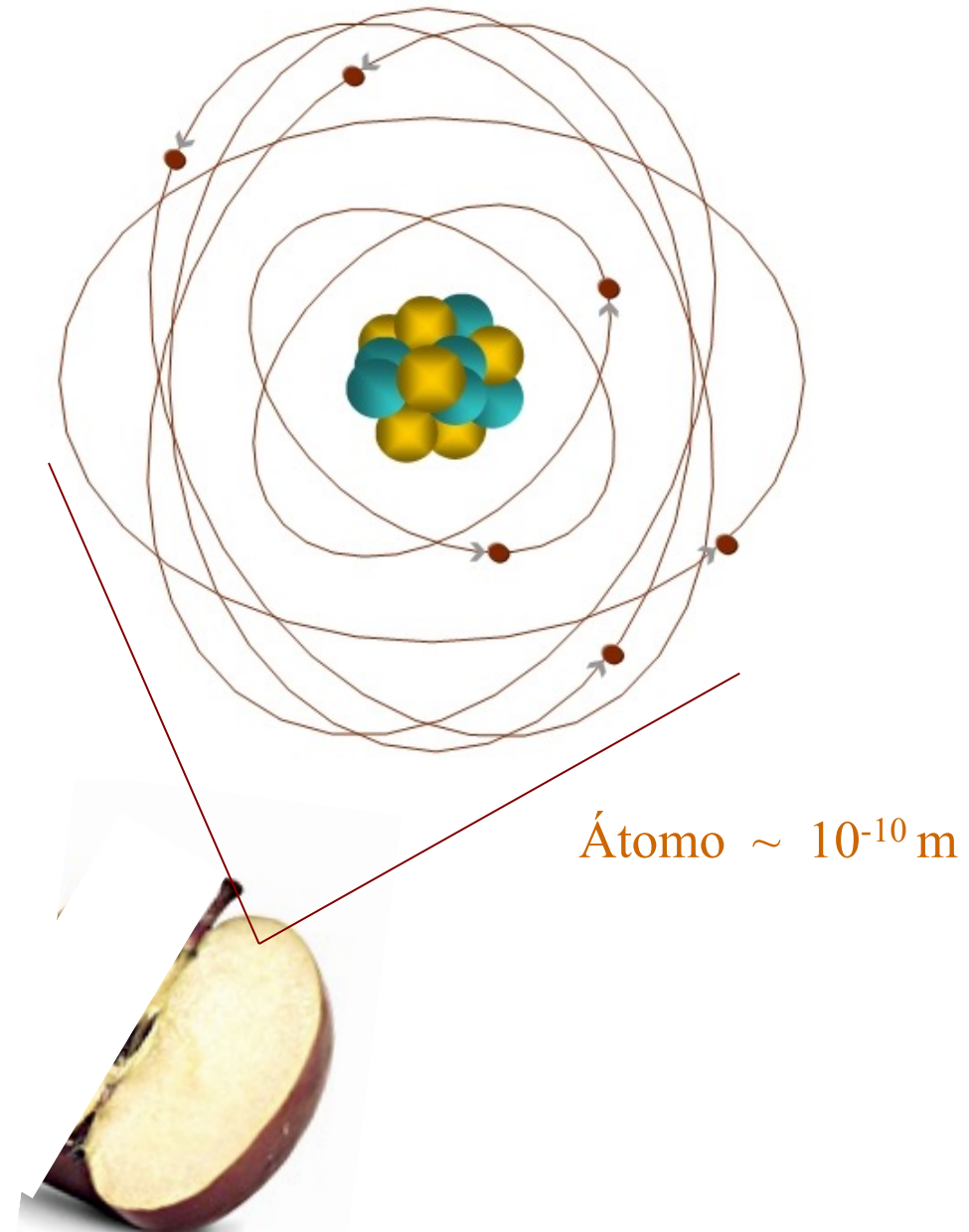


CERN

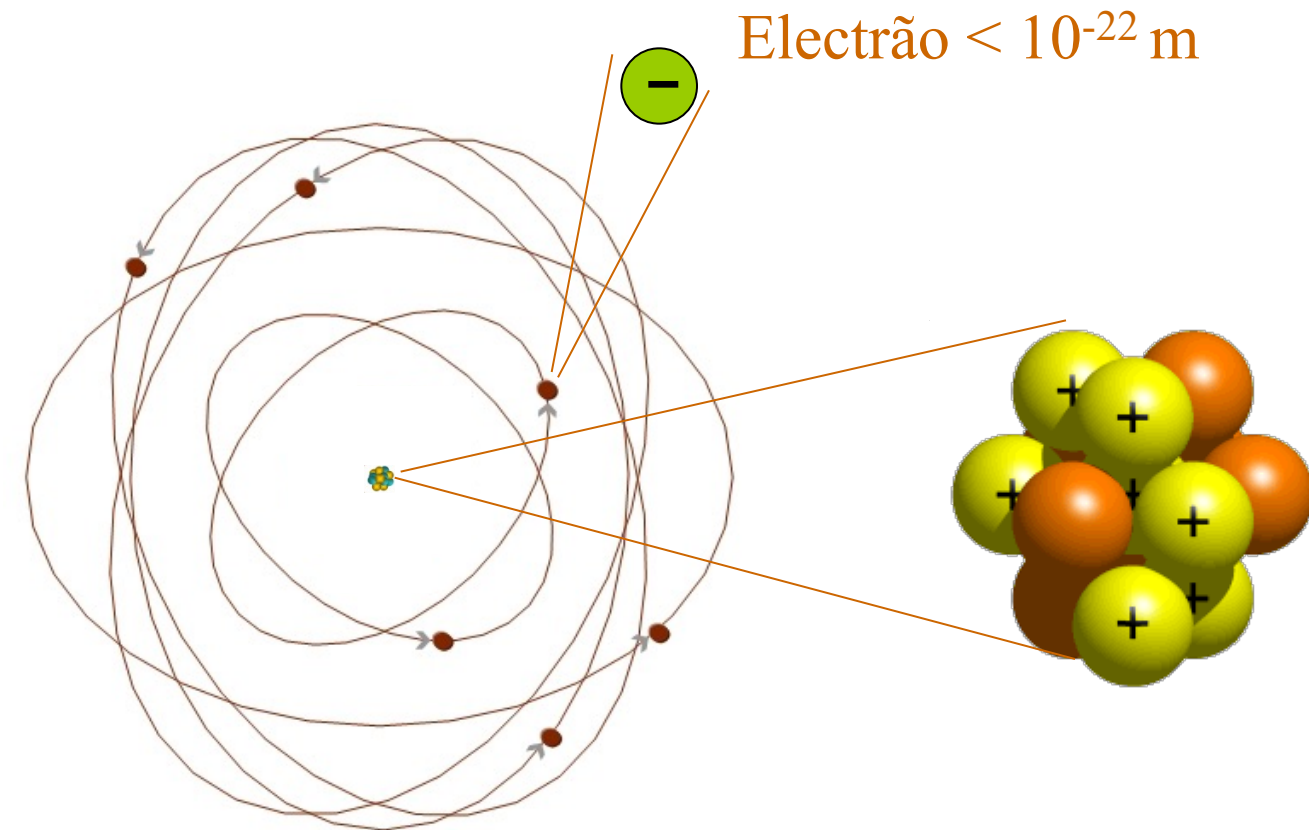
$d \sim 10^{-18} \text{ m}$



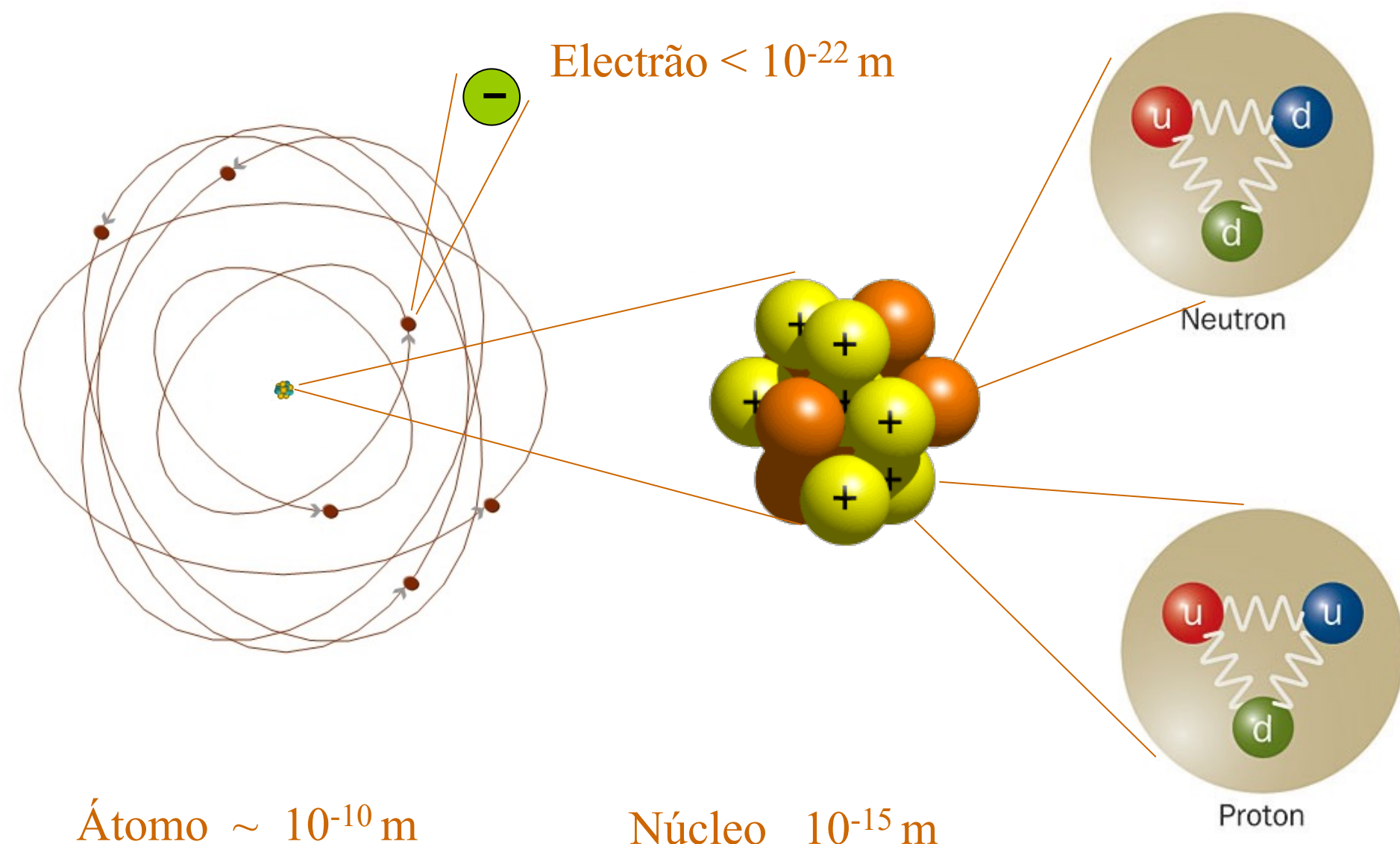
Será que a maçã é elementar?



No interior dos átomos



No interior dos átomos



Vários quarks, muitas partículas !!!

Quarks:


$$\begin{pmatrix} u \\ d \end{pmatrix}$$

$Q = + 2/3$

$Q = - 1/3$

Vários quarks, muitas partículas !!!

Quarks:

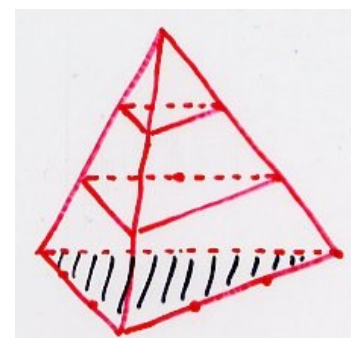
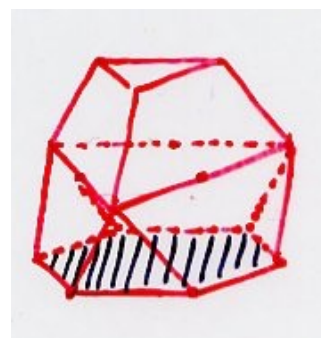


$$\begin{pmatrix} u \\ d \end{pmatrix} \begin{pmatrix} c \\ s \end{pmatrix} \begin{pmatrix} t \\ b \end{pmatrix} \begin{pmatrix} ? \end{pmatrix} \begin{array}{l} Q = + 2/3 \\ Q = - 1/3 \end{array}$$

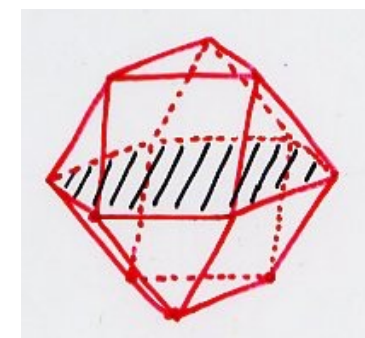
Combinar



$$q_i q_j q_k$$



$$q_i \bar{q}_i$$



$$p, n, \Sigma, \lambda, \Xi, \Delta, \dots$$

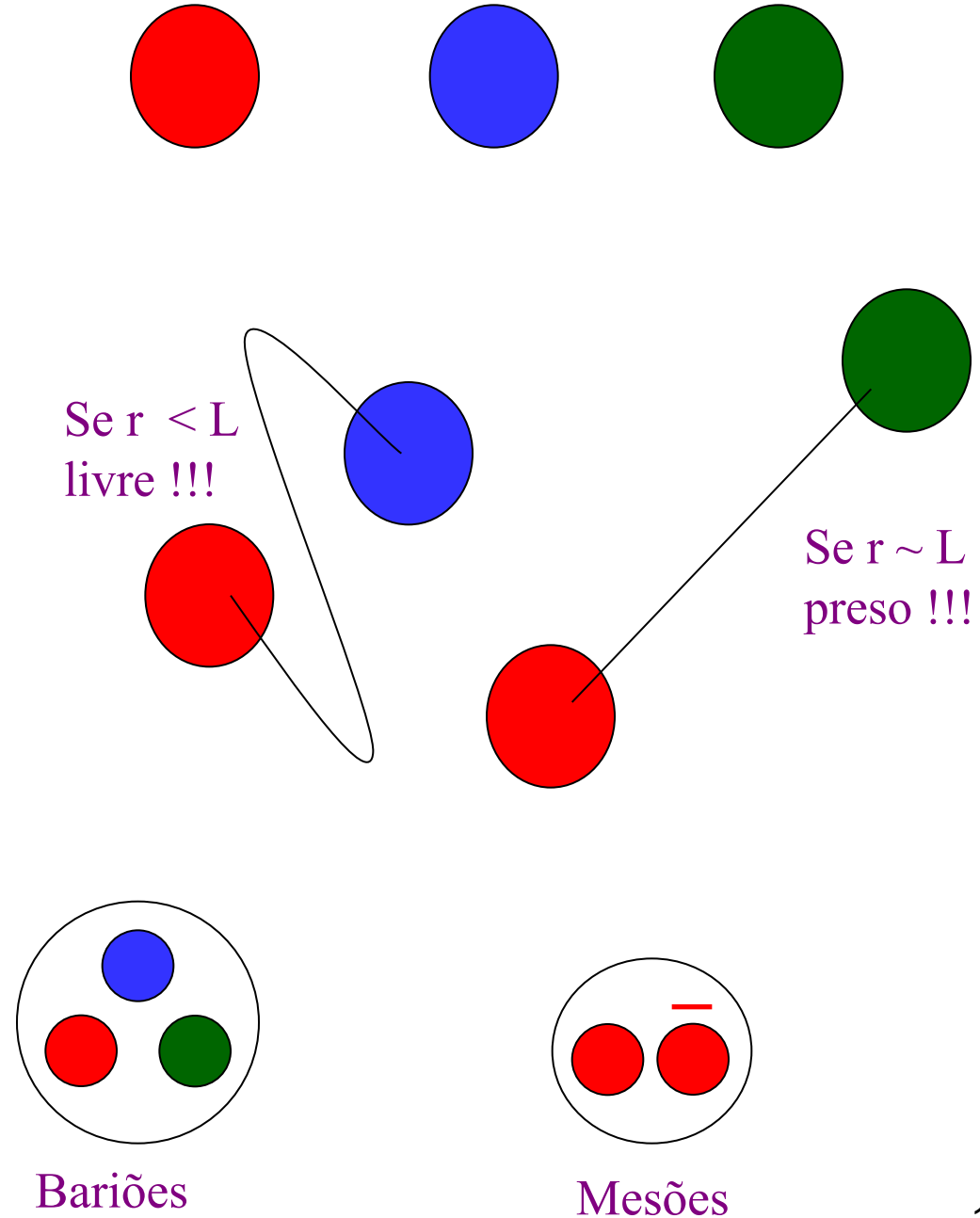
$$\pi, k, \eta, \rho, \psi, \dots$$

A força forte

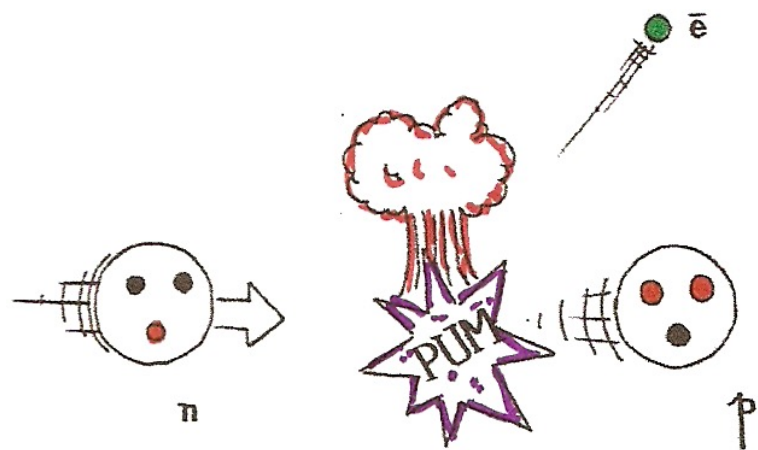
Quarks de três cores:

Ligados por “cordas”

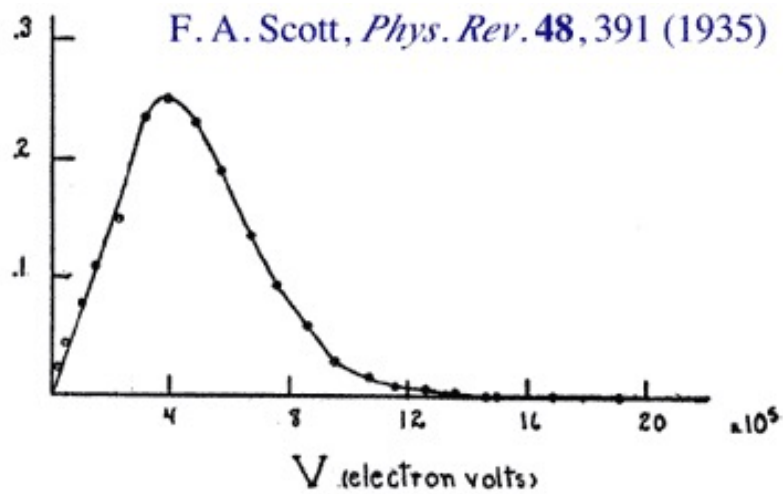
Partículas “sem cor”



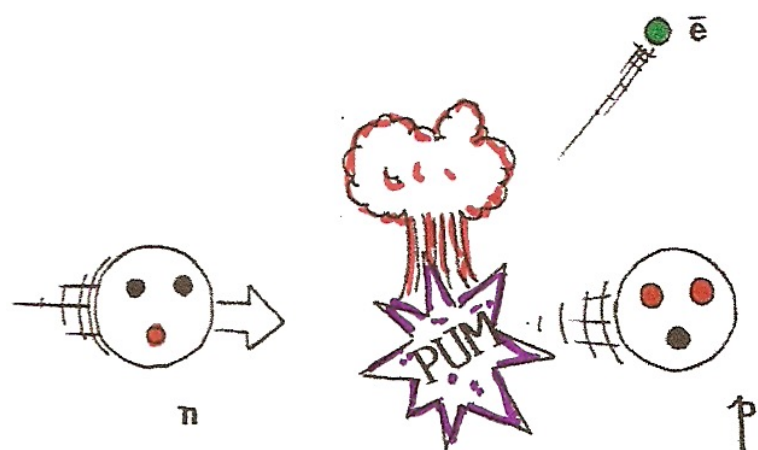
O neutrão decai...



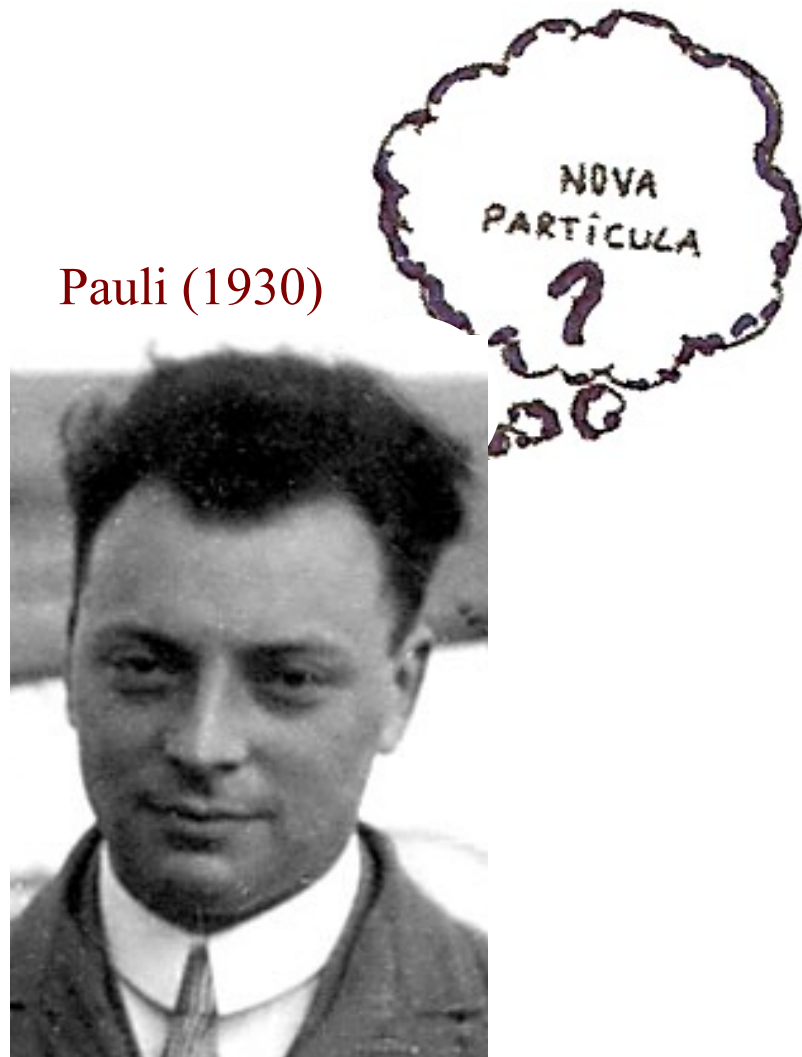
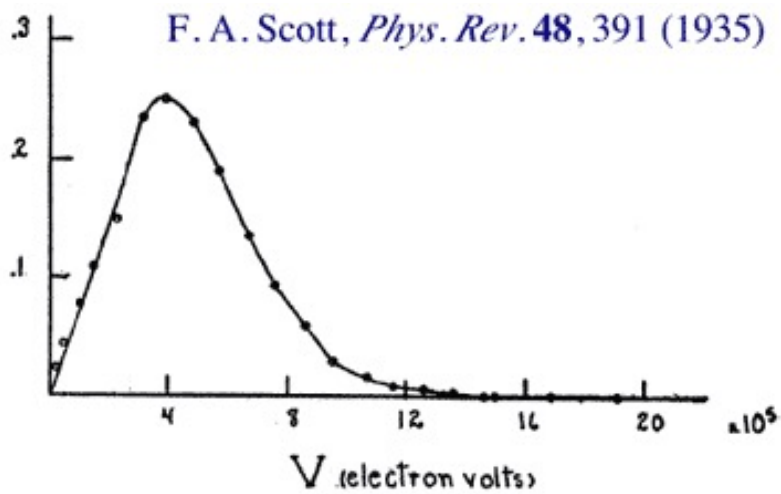
conservação E e \vec{P} ???



O neutrão decai...



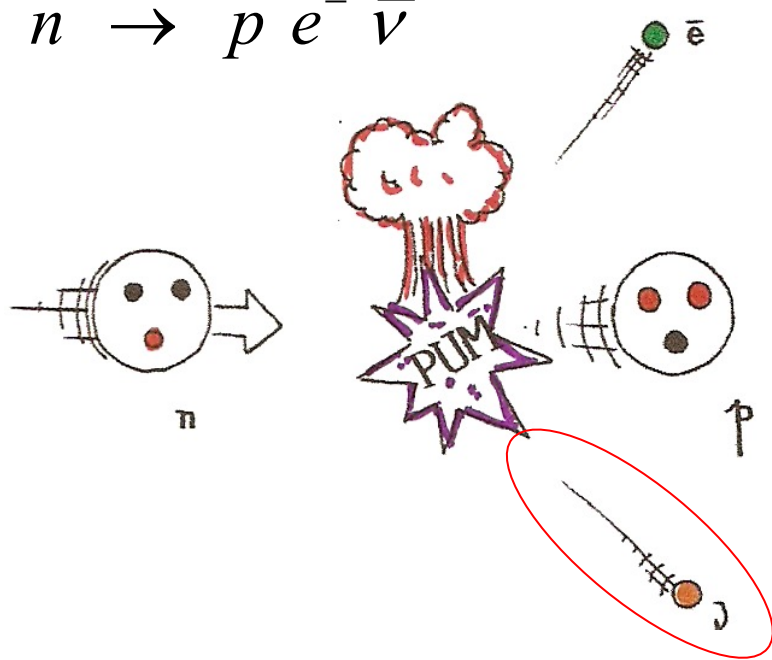
conservação E e \vec{P} ???



O neutrino !!!

A força fraca

$$n \rightarrow p e^- \bar{\nu}$$



ANNO IV - VOL. II - N. 12 QUINDICINALE

31 DICEMBRE

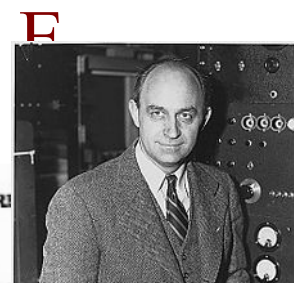
LA RICERCA SCIENTIFICA

ED IL PROGRESSO TECNICO NELL'ECONOMIA NAZIONALE

Tentativo di una teoria dell'emissione dei raggi "beta"

Note del prof. ENRICO FERMI

Riassunto: Teoria della emissione dei raggi β delle sostanze radioattive, fondata sull'ipotesi che gli elettroni emessi dai nuclei non esistano prima della disintegrazione ma vengano formati, insieme ad un neutrino, in modo analogo alla formazione di un quanto di luce che accompagna un salto quantico di un atomo. Confronto della teoria con l'esperienza.



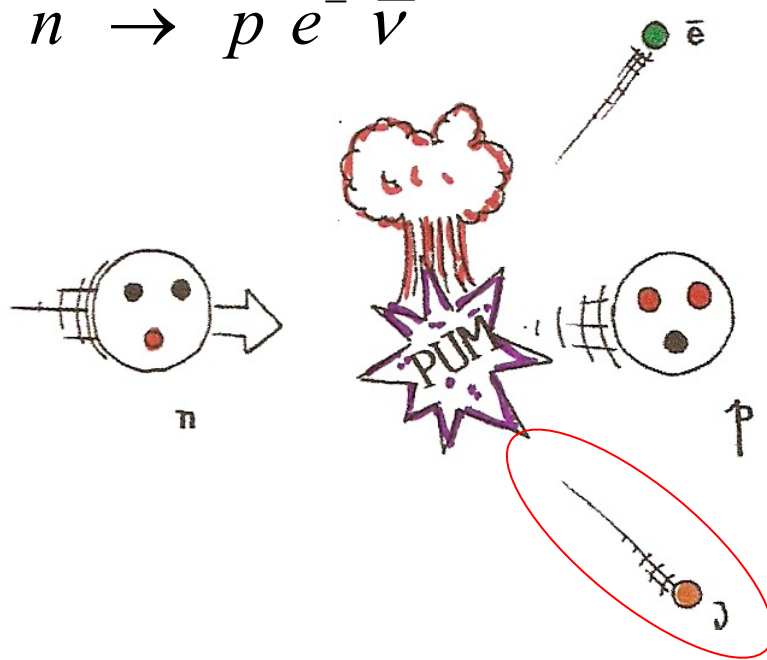
F

Letter Submitted to Nature (1933)
REJECTED

Nuovo Cimento and Zeitschrift fur Physik

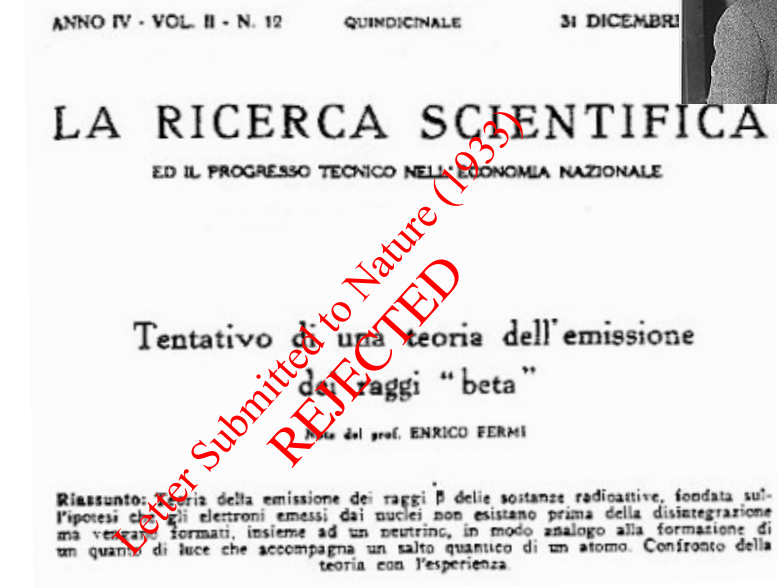
A força fraca

$$n \rightarrow p e^- \bar{\nu}$$

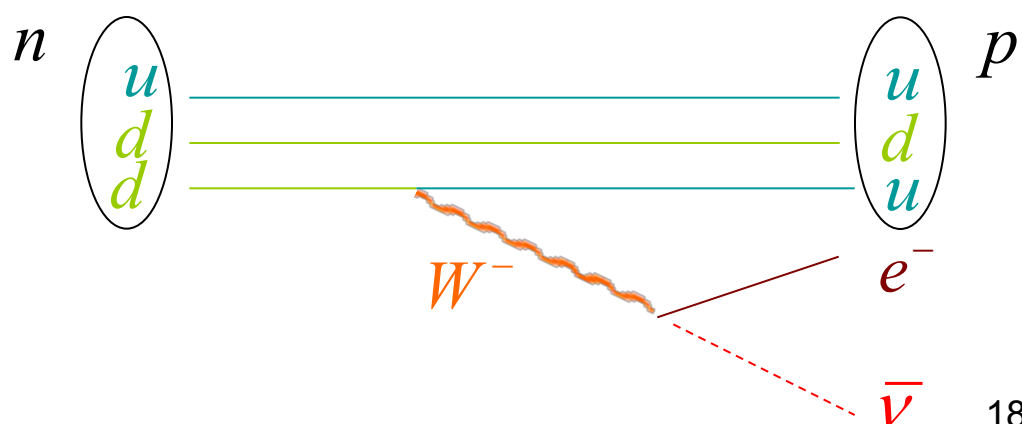


A visão moderna !

Um quark d transforma-se num quark u emitindo um bosão W que “decai” num par electrão, anti-neutrino

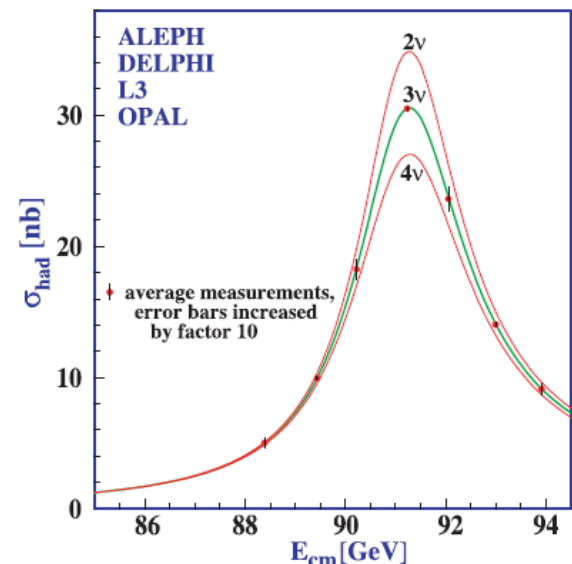
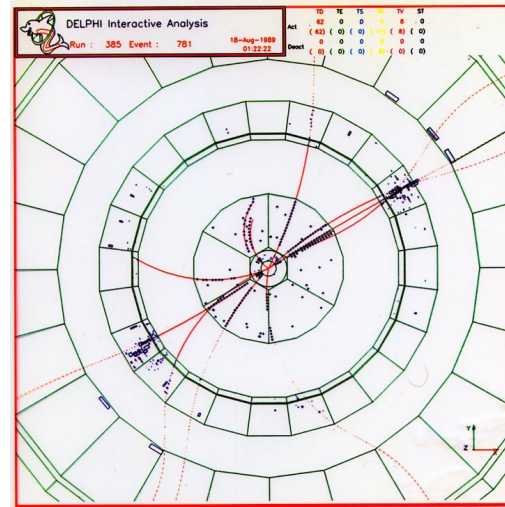
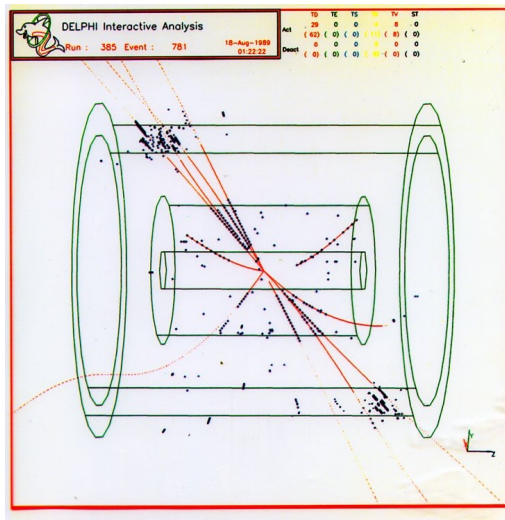
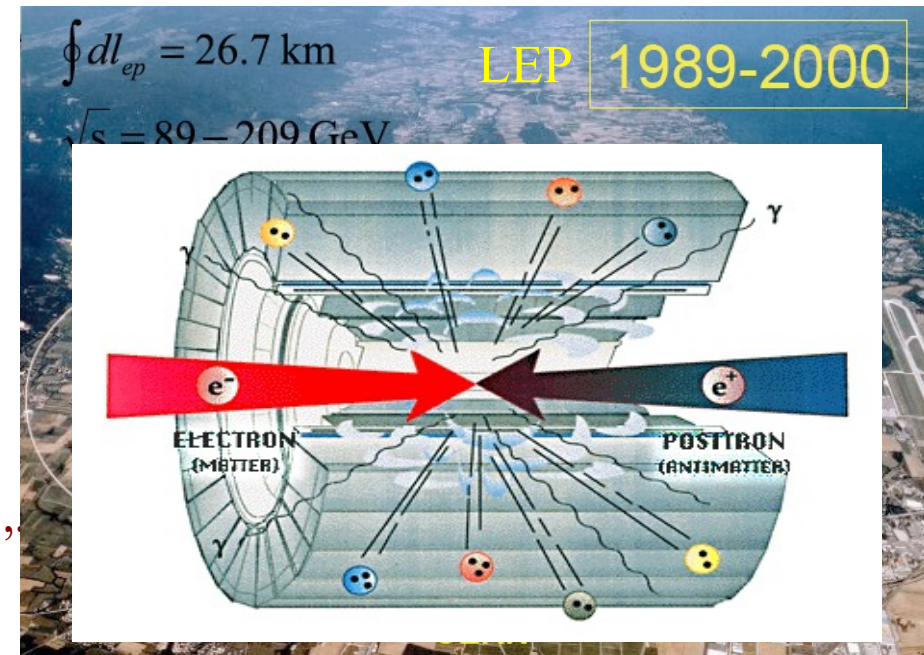
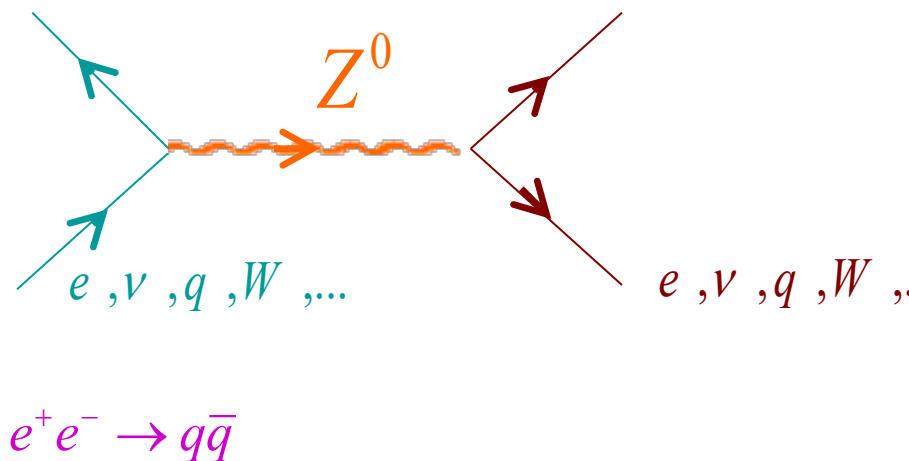


Nuovo Cimento and Zeitschrift fur Physik



O Z^0

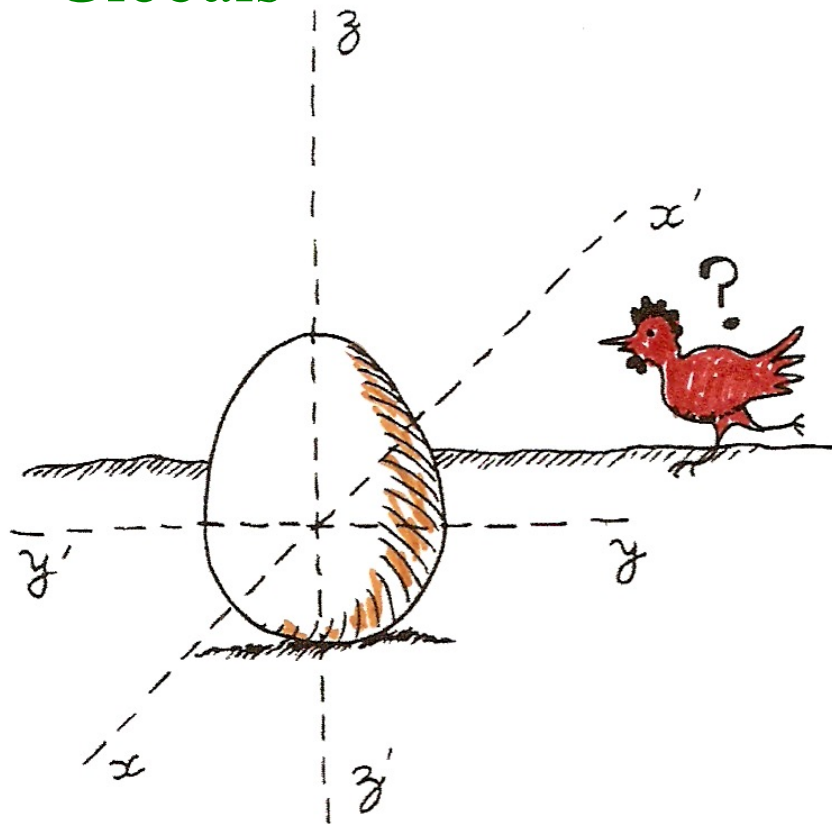
Parceiro neutro dos W's



$M_Z = 91.1875 \pm 0.0021 \text{ GeV/c}^2$

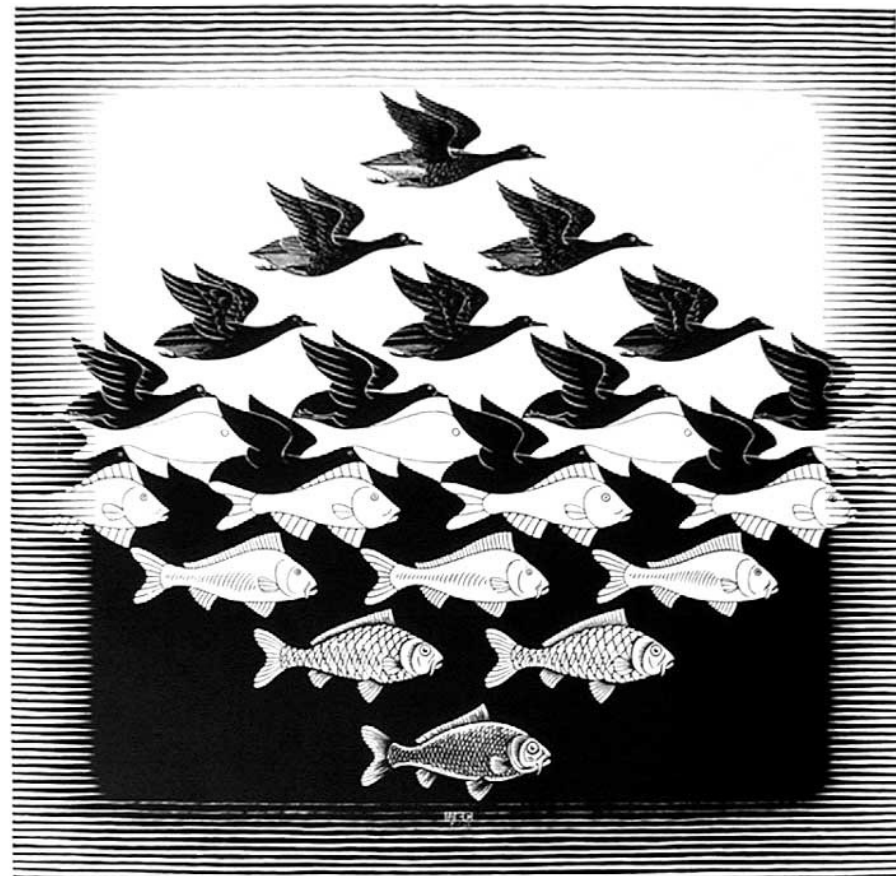
Simetrias !!!

Globais



Locais

M.C.Escher



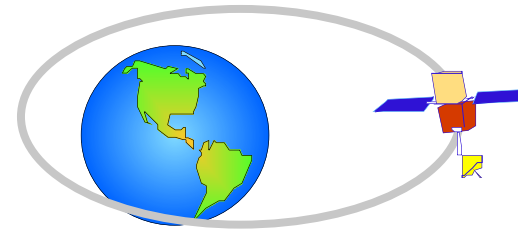
Leis de conservação:
Energia, Momento linear,
Momento Angular

Campos de interacção:
Electromagnético, fraco, forte,
gravítico???,

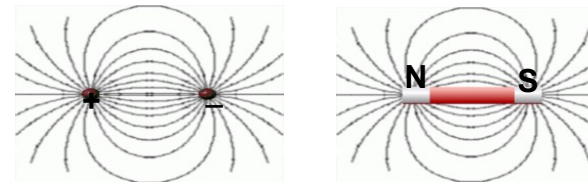
As interações

Unificação e Simetrias (locais)

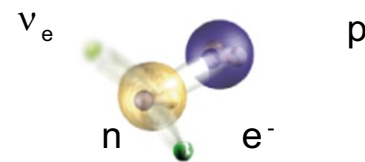
gravíticas



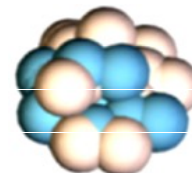
electromagneticas



fracas



fortes



Mas as Partículas têm massa

em eV/c^2

$$m_v \sim 10^{-1}$$

$$m_e \sim 500 \cdot 10^{-3}$$

$$m_u \sim 5 \cdot 10^{-6}$$

$$m_t \sim 174 \cdot 10^{-9}$$

...

$$m_\gamma = 0$$

$$m_W \sim 80 \cdot 10^9$$

$$m_Z \sim 91 \cdot 10^9$$

$$m_H \sim 125 \cdot 10^9$$

Como é que as massas são geradas ???

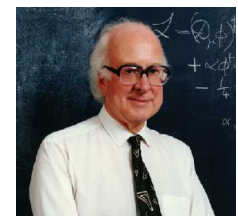
Por é que são tão diferentes ???

$$1 \text{ eV} \sim 1.8 \cdot 10^{-36} \text{ Kg}$$

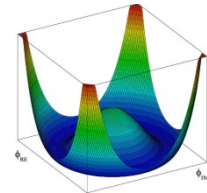
O campo de Higgs

Higgs, Englert, Brout - 1964

Peter Higgs

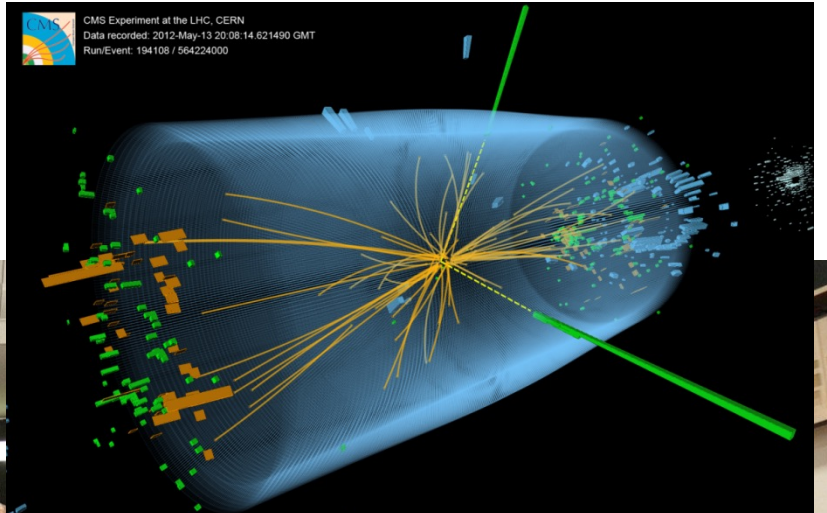


O mecanismo de Higgs



A massa é gerada na interacção com o campo

O bosão de Higgs



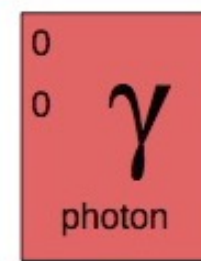
4 Julho 2012: CERN

As partículas elementares hoje!

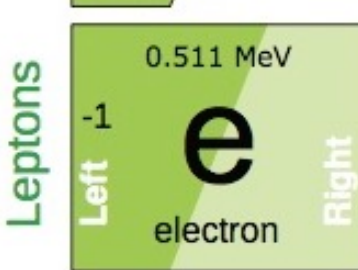
Three Generations of Matter (Fermions) spin $\frac{1}{2}$				Bosons (Forces) spin 1	
	I	II	III		
mass →	2.4 MeV	1.27 GeV	173.2 GeV	0	0
charge →	$\frac{2}{3}$	$\frac{2}{3}$	$\frac{2}{3}$	g	gluon
name →	u up Left Right	c charm Left Right	t top Left Right	γ	photon
Quarks	d down Left Right	s strange Left Right	b bottom Left Right	Z^0 91.2 GeV 0 0 0	weak force 126 GeV 0 0 0 Higgs boson
Leptons	ν_e Left electron neutrino Right	ν_μ Left muon neutrino Right	ν_τ Left tau neutrino Right	W^\pm 80.4 GeV ± 1 Left Right	spin 0
	0.511 MeV -1 e electron Left Right	105.7 MeV -1 μ muon Left Right	1.777 GeV -1 τ tau Left Right		

As partículas elementares em 1957

Three Generations
of Matter (Fermions) spin $\frac{1}{2}$



Bosons (Forces) spin 1



Leptons

As partículas elementares em 1980

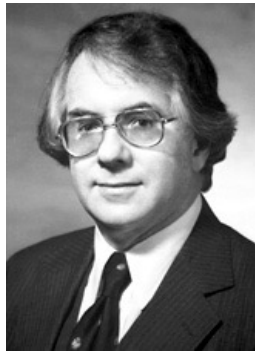
Three Generations of Matter (Fermions) spin $\frac{1}{2}$			Bosons (Forces) spin 1	
	I	II	III	
mass →	2.4 MeV	1.27 GeV		
charge →	$\frac{2}{3}$	$\frac{2}{3}$		
name →	u up Left	c charm Left		
Quarks	d down Left	s strange Left	b bottom Left	g gluon 0 0
	4.8 MeV	104 MeV	4.2 GeV	γ photon 0 0
Leptons	ν_e Left electron neutrino	ν_μ Left muon neutrino		
	0.511 MeV	105.7 MeV	1.777 GeV	
	e Left electron	μ Left muon	τ Left tau	

As partículas elementares hoje!

Three Generations of Matter (Fermions) spin $\frac{1}{2}$			Bosons (Forces) spin 1	
mass →	2.4 MeV	1.27 GeV	173.2 GeV	91.2 GeV
charge →	$\frac{2}{3}$	$\frac{2}{3}$	$\frac{2}{3}$	0
name →	u up	c charm	t top	Z^0 weak force
Quarks	d down	s strange	b bottom	γ photon
Leptons	ν_e electron neutrino	ν_μ muon neutrino	ν_τ tau neutrino	W^\pm weak force
	0.511 MeV	105.7 MeV	1.777 GeV	126 GeV
	-1	-1	-1	0
	e electron	μ muon	τ tau	Higgs boson
	Right	Right	Right	spin 0

O Modelo Padrão: $SU(2)_L \otimes U_1$

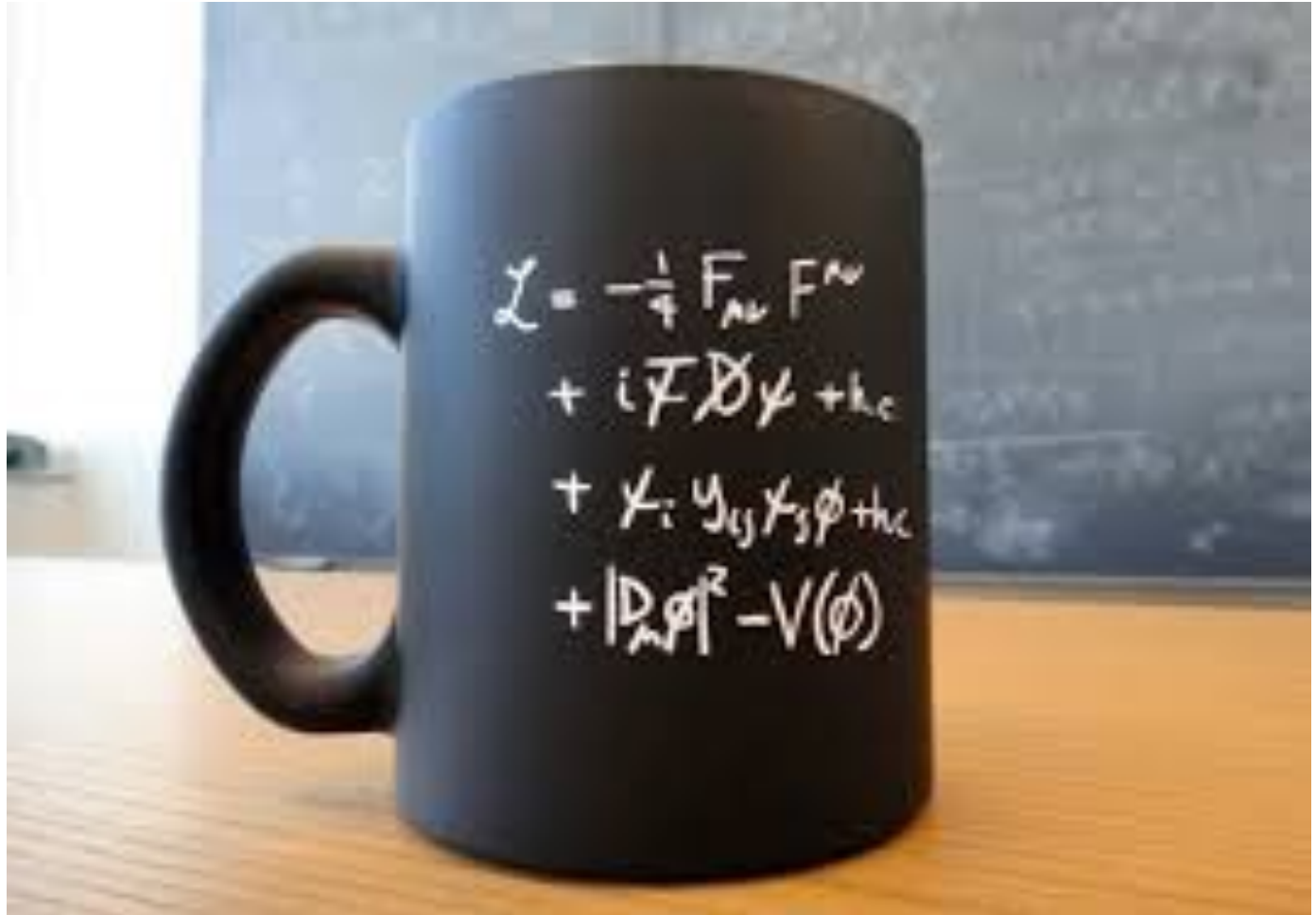
Glashow



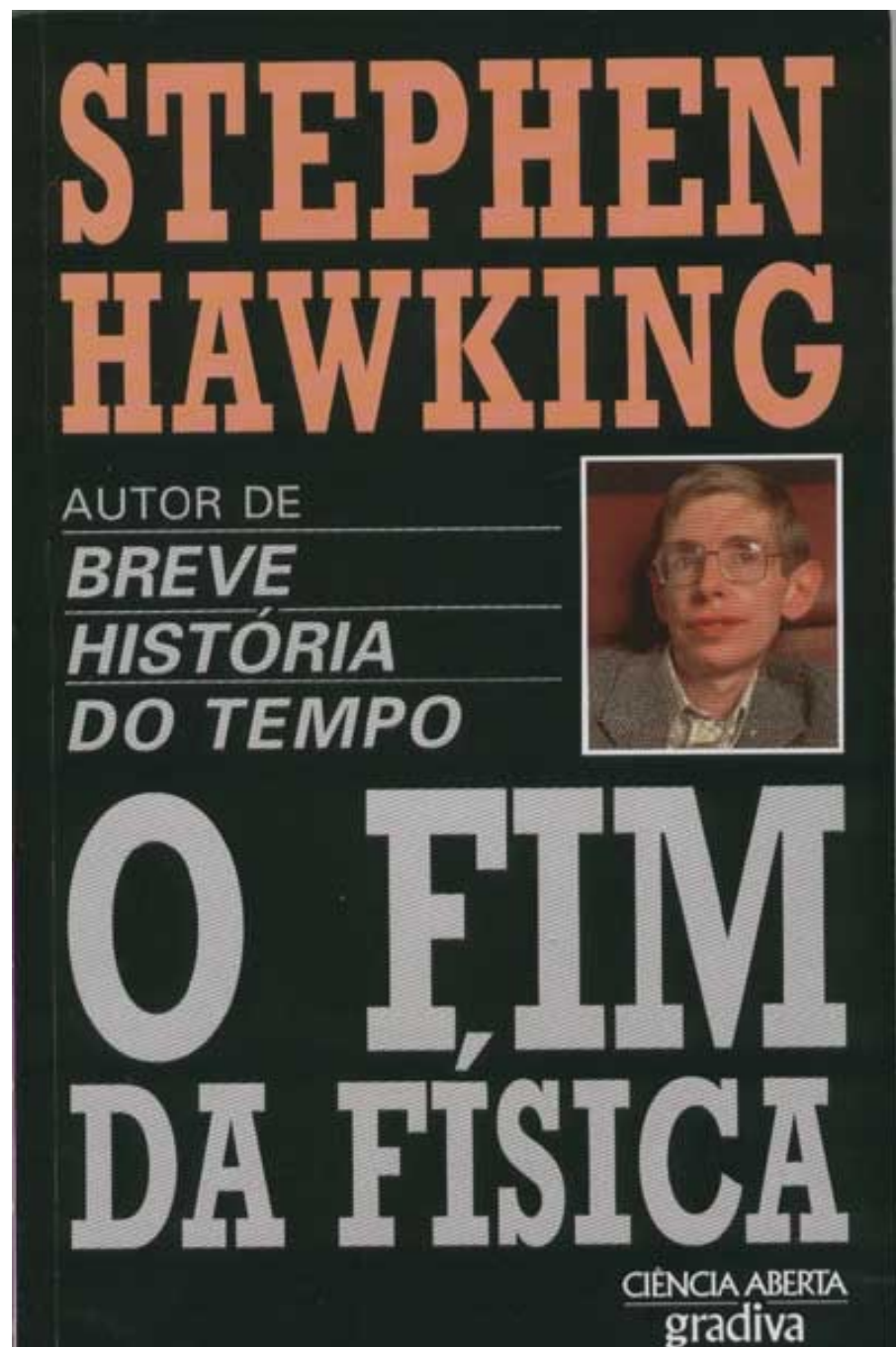
Salam



Weinberg



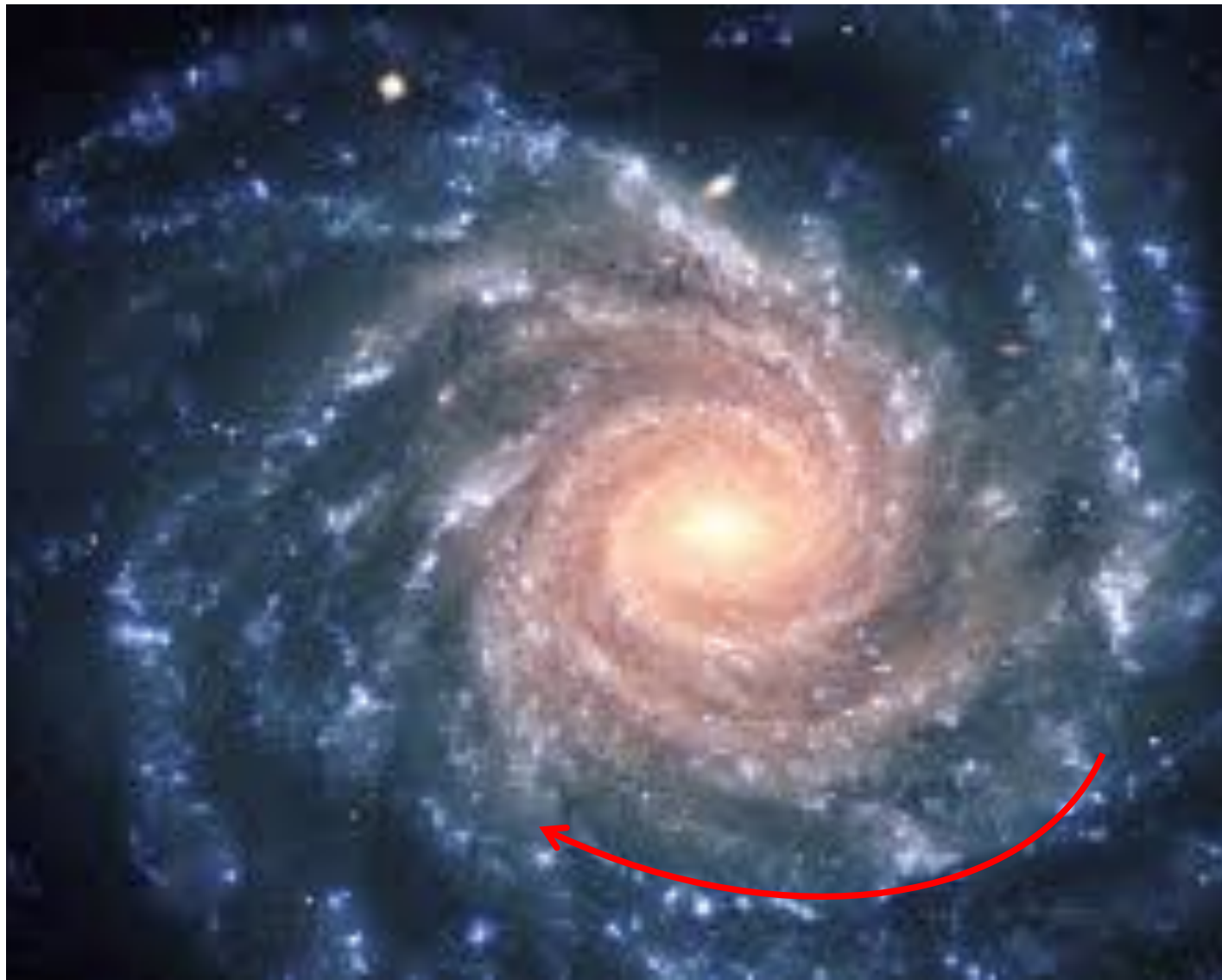
O fim da Física ?



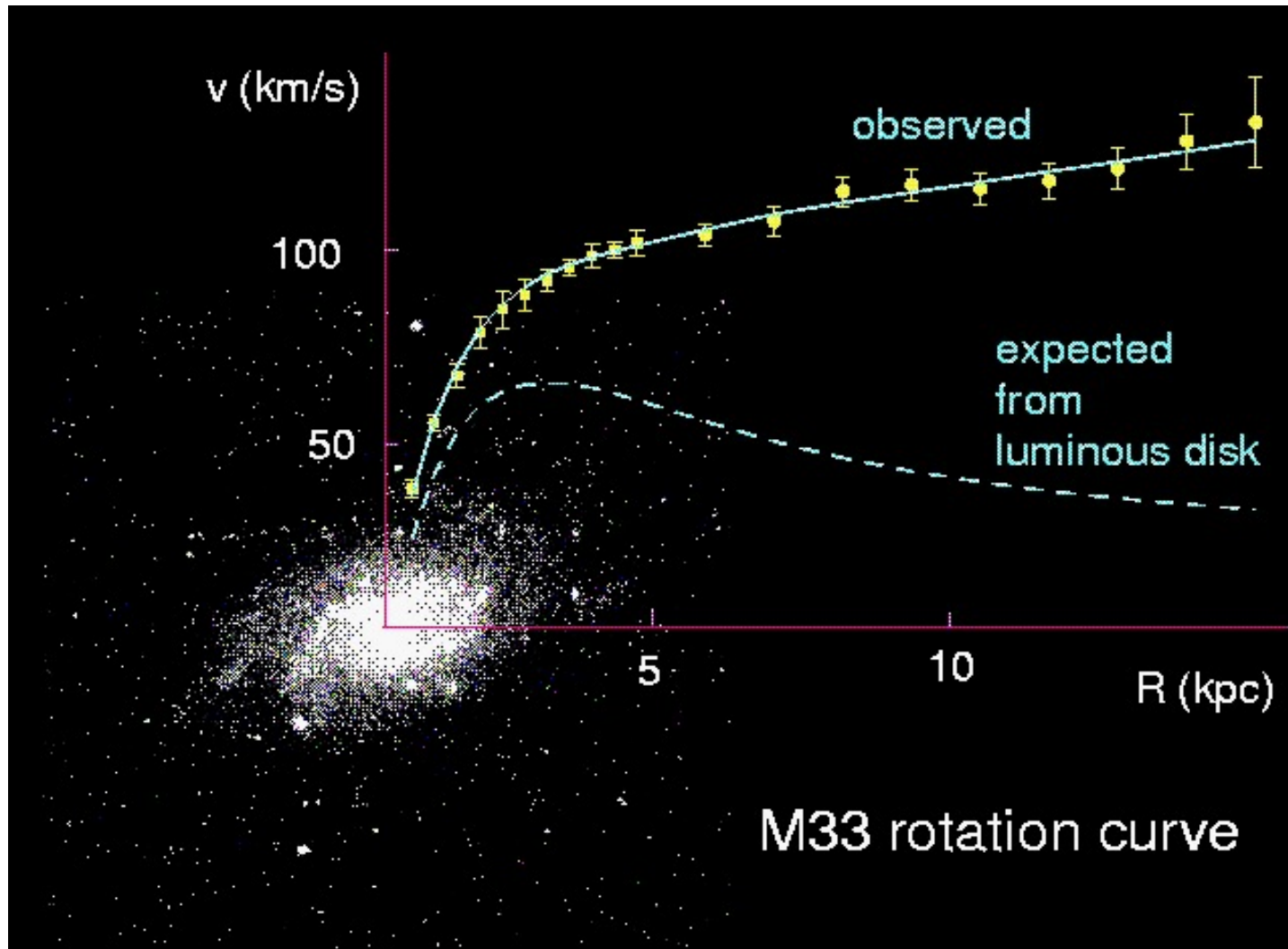
A matéria luminosa



A velocidade de rotação das estrelas periféricas



Rodar em torno do centro da galáxia

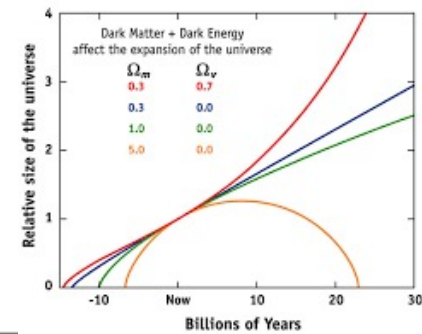
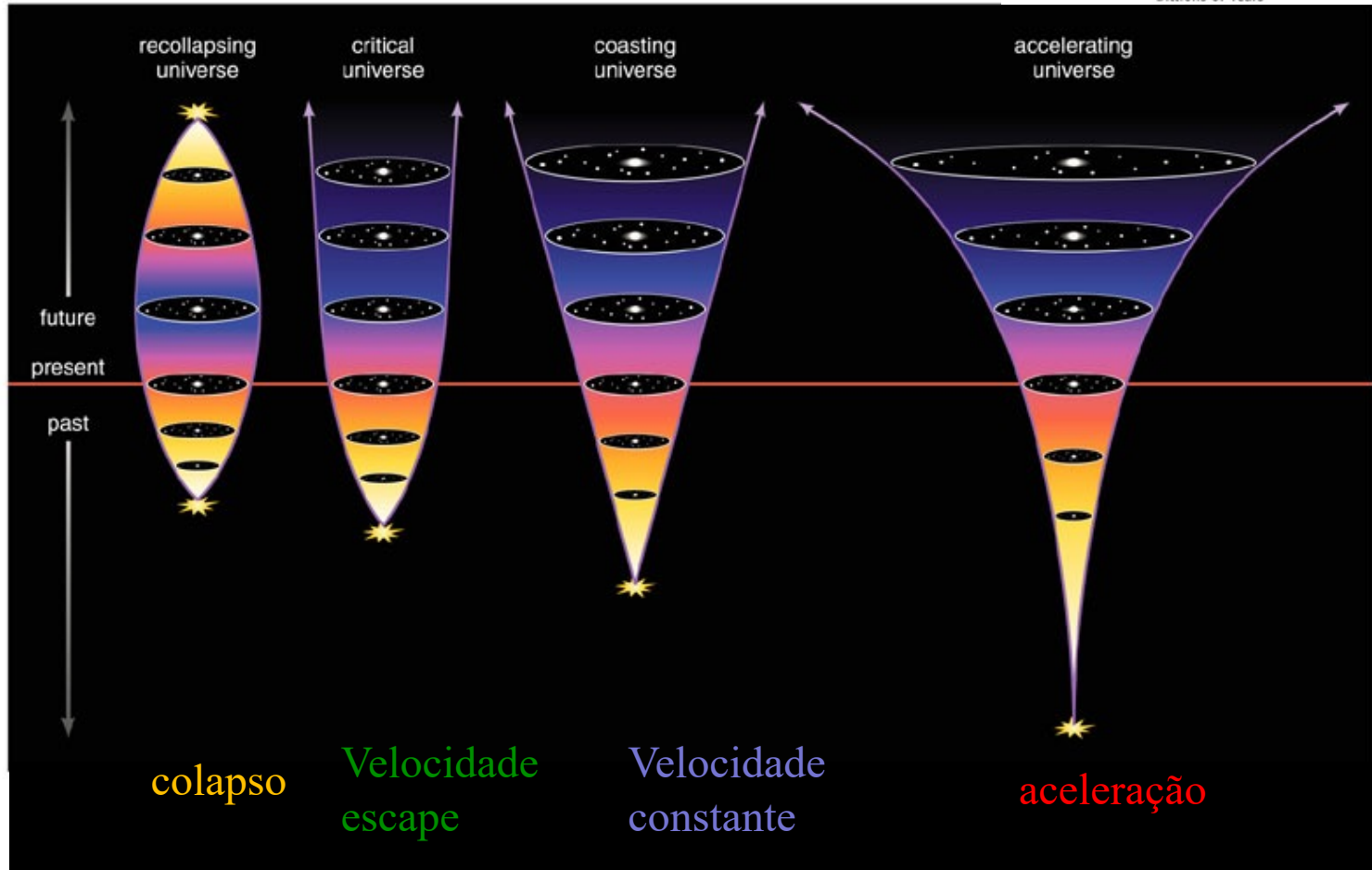
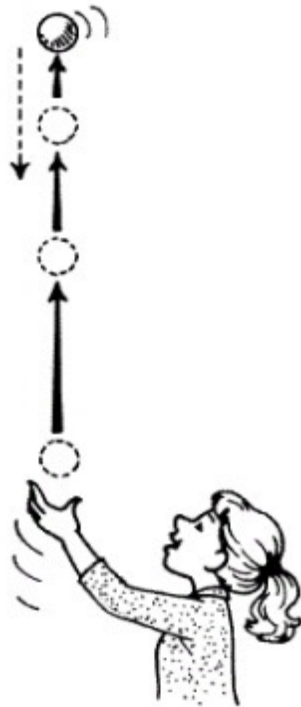


Um halo de matéria escura!

A matéria escura

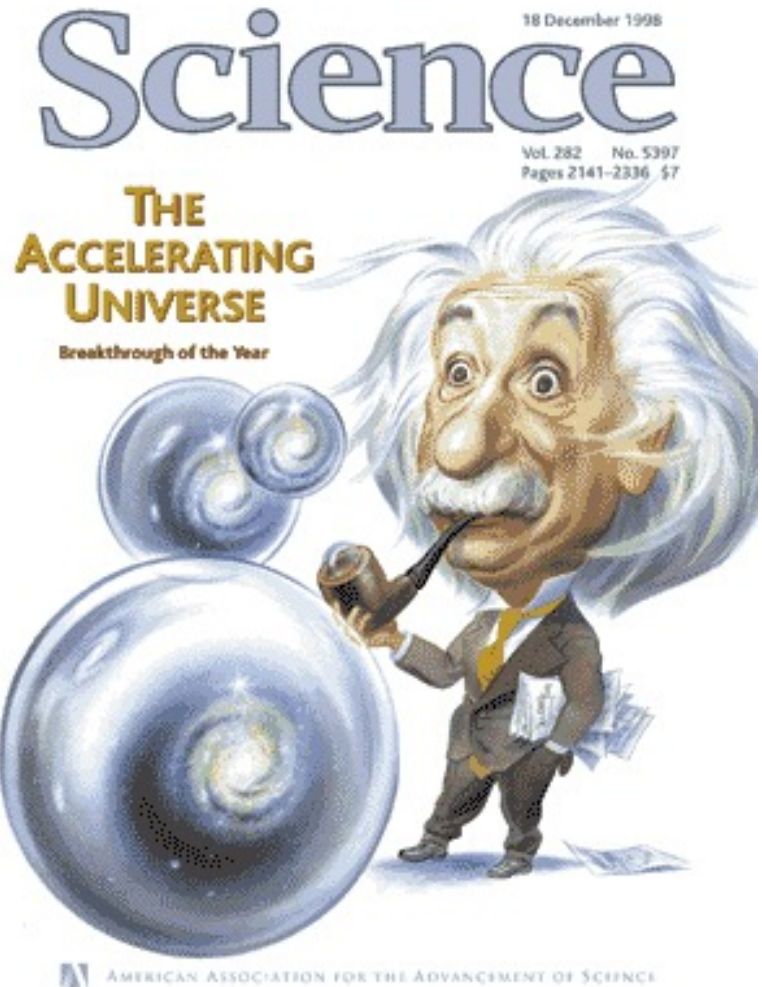
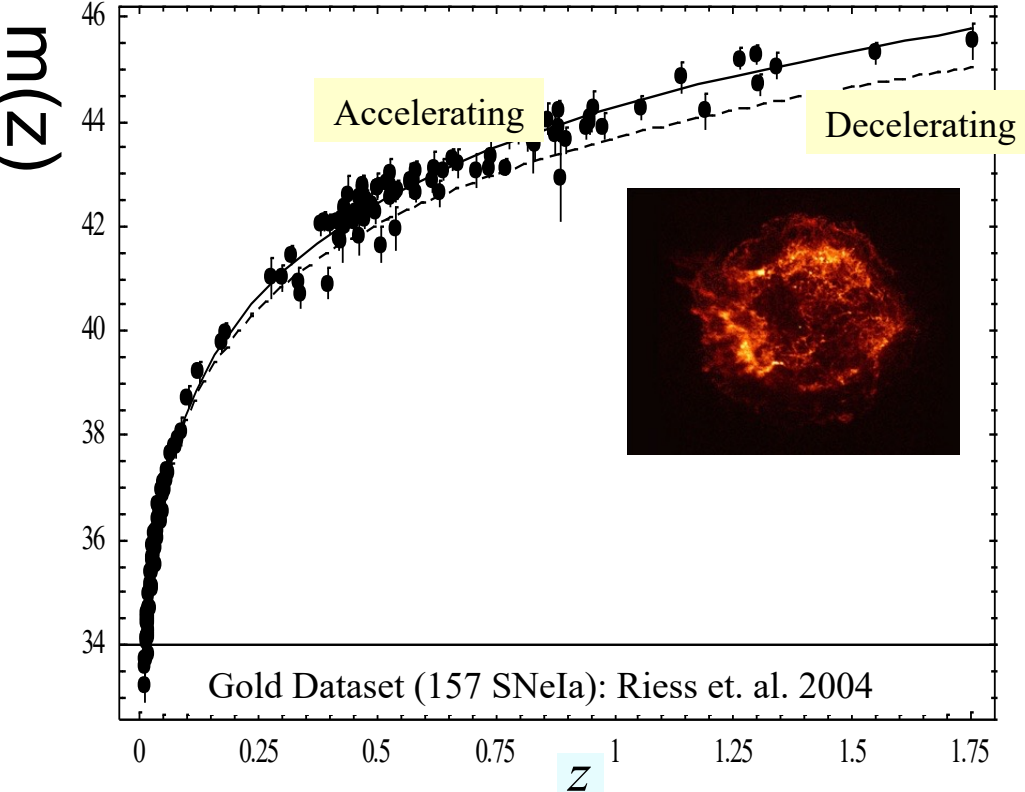


A expansão do Universo



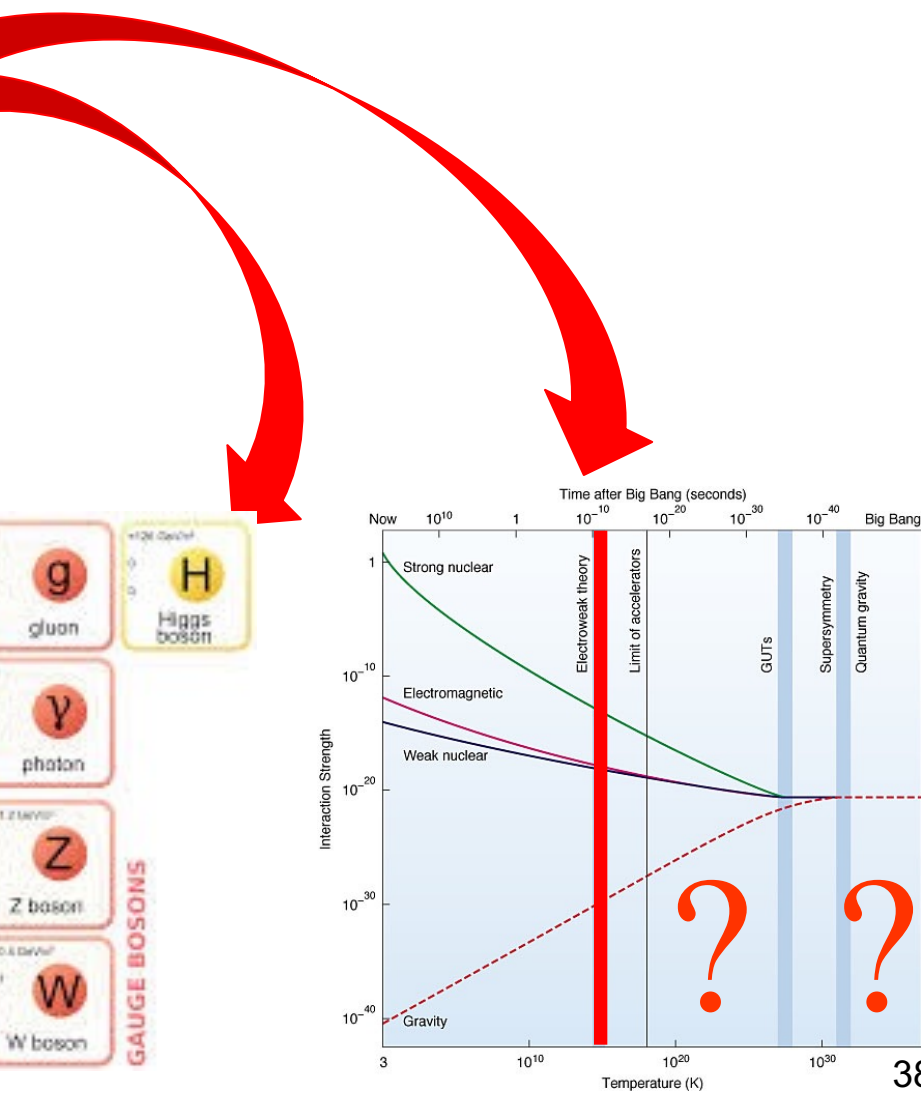
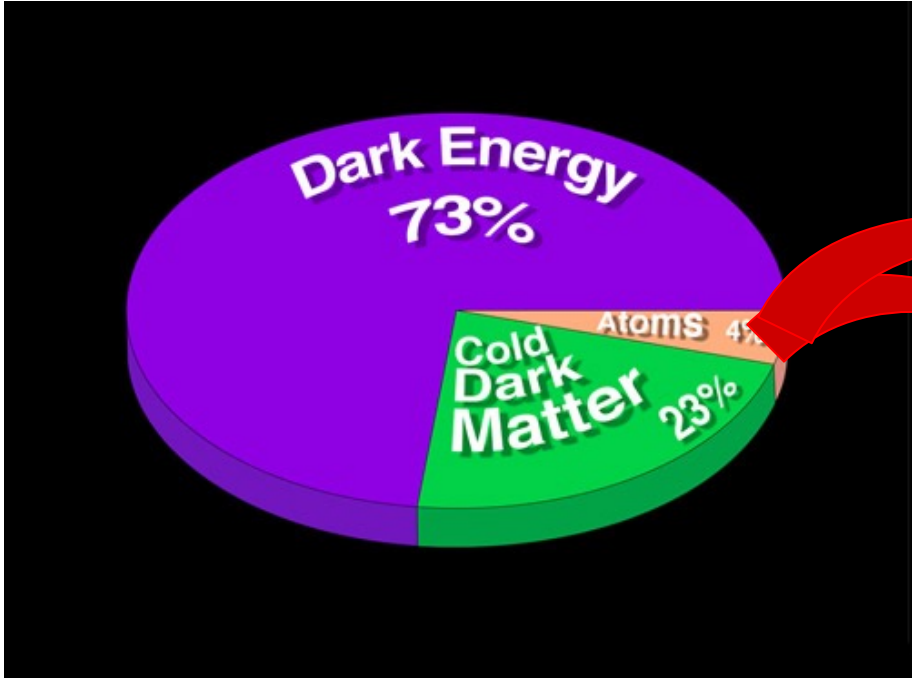
A energia escura !

Diagrama de Hubble



O Universo encontra-se numa expansão acelerada !!!
Energia escura – anti-gravítica

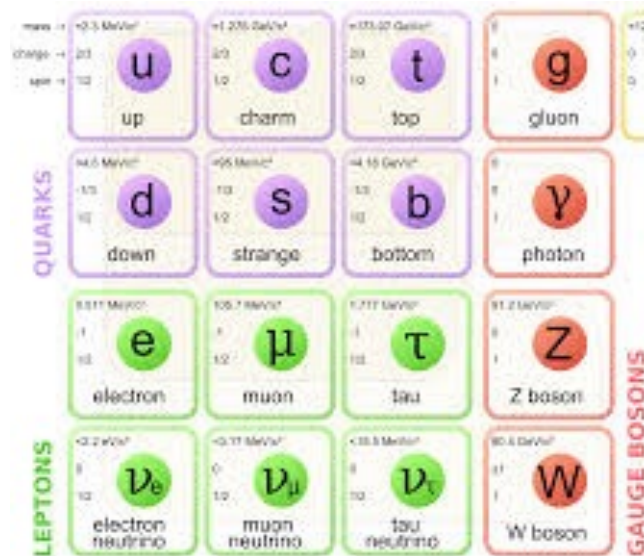
Fronteiras do nosso (des)conhecimento



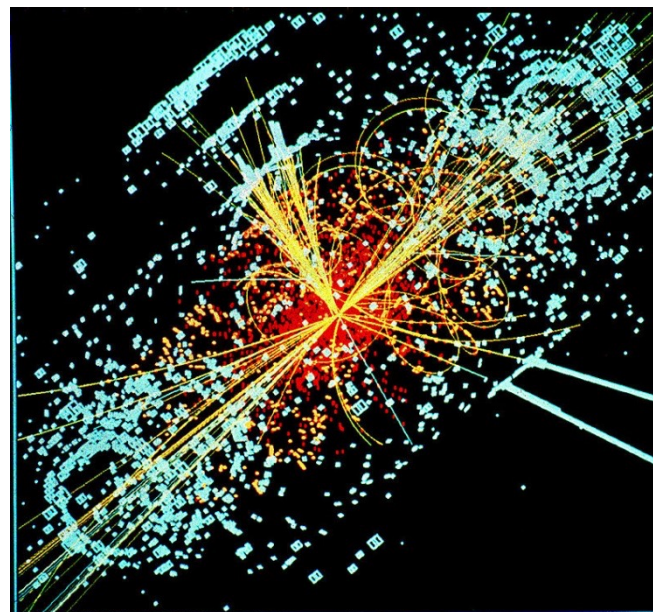
O modelo padrão

$E_{CM} \sim 1 \text{ TeV}$

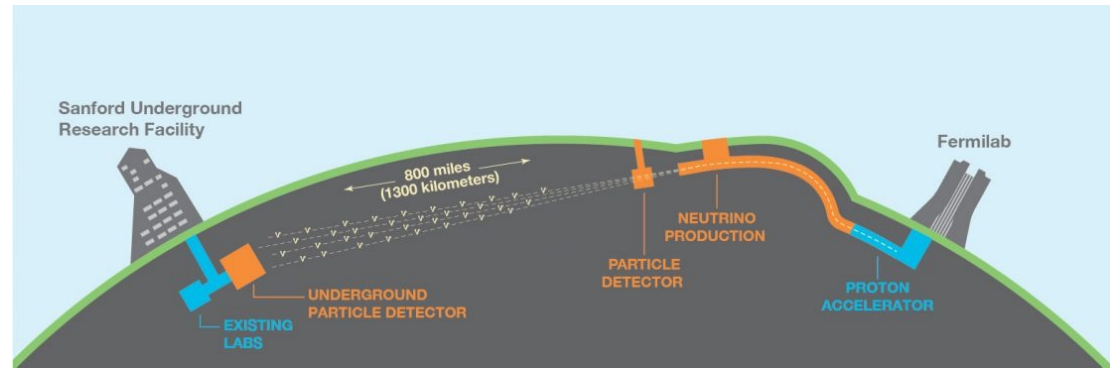
$R \sim 10^{-18} \text{ m}$



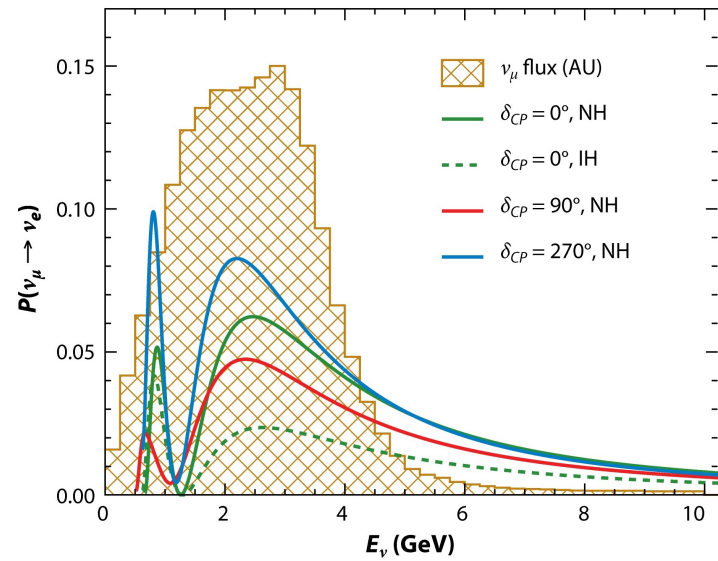
Olhar o Universo no sec. XXI



violação de CP no
sector dos neutrinos ???



Padrões de Oscilação



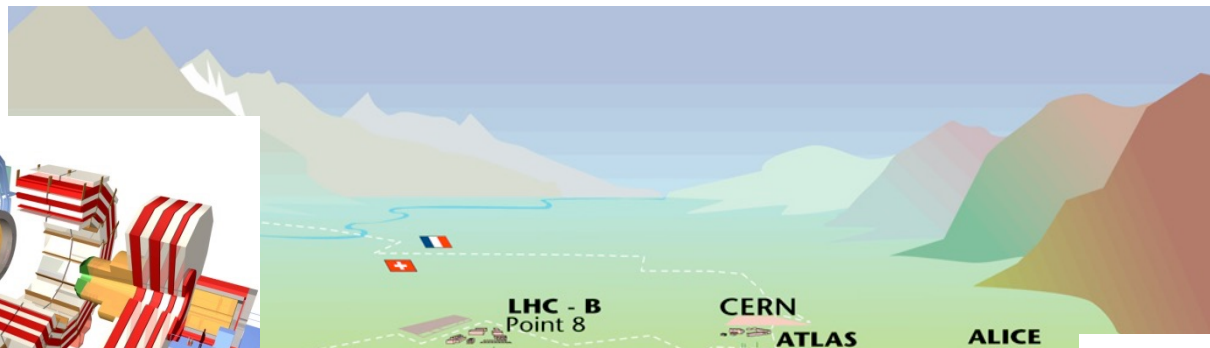
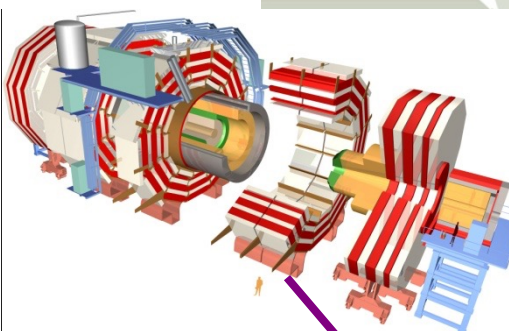
Proto-DUNE @ CERN



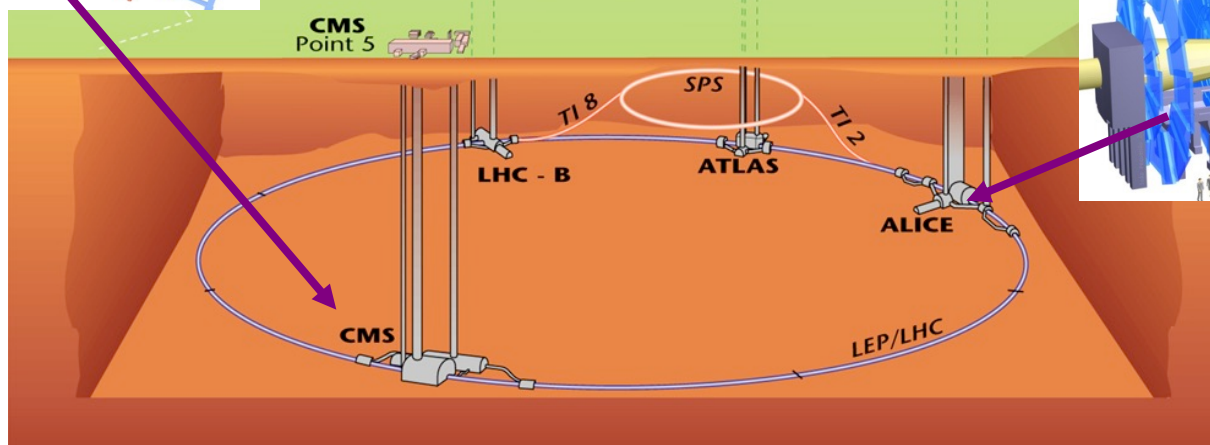
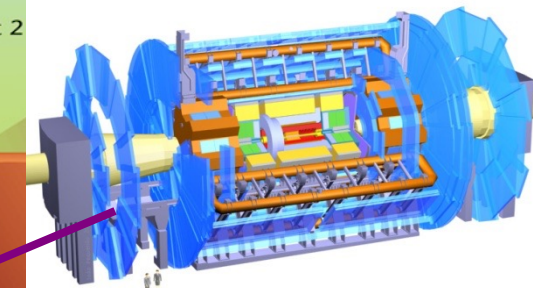
O LHC no CERN



CMS



ATLAS

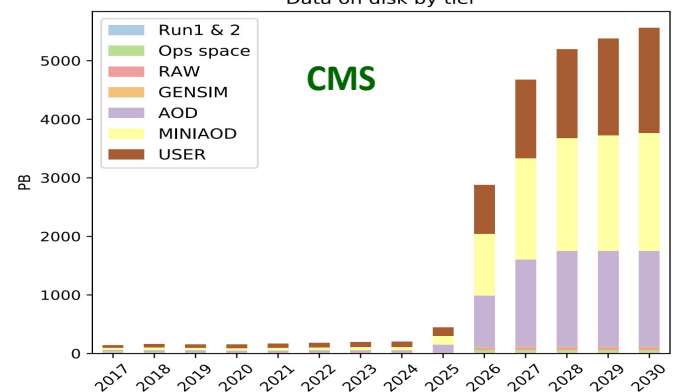
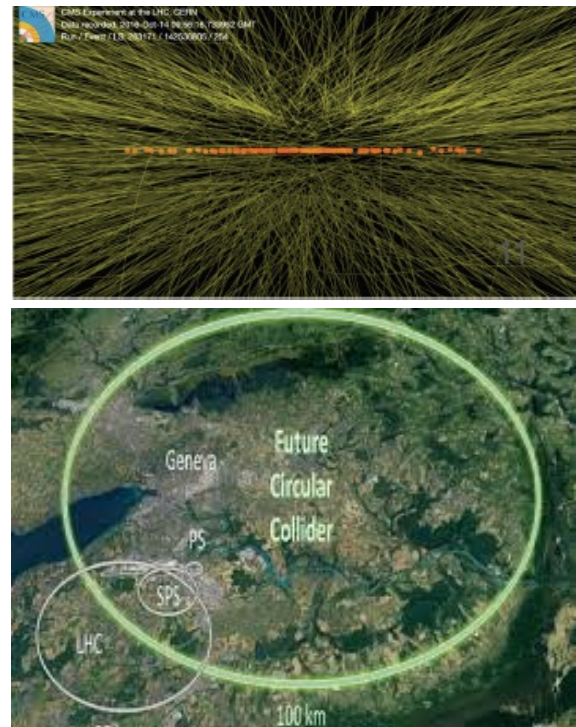


Os próximos 50 anos no CERN!

Até 2038 - LHC – alta intensidade

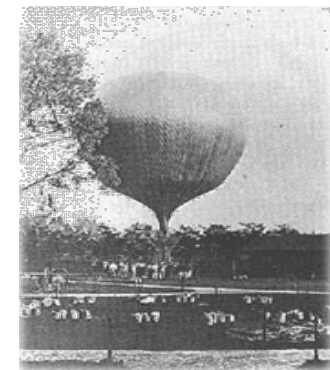
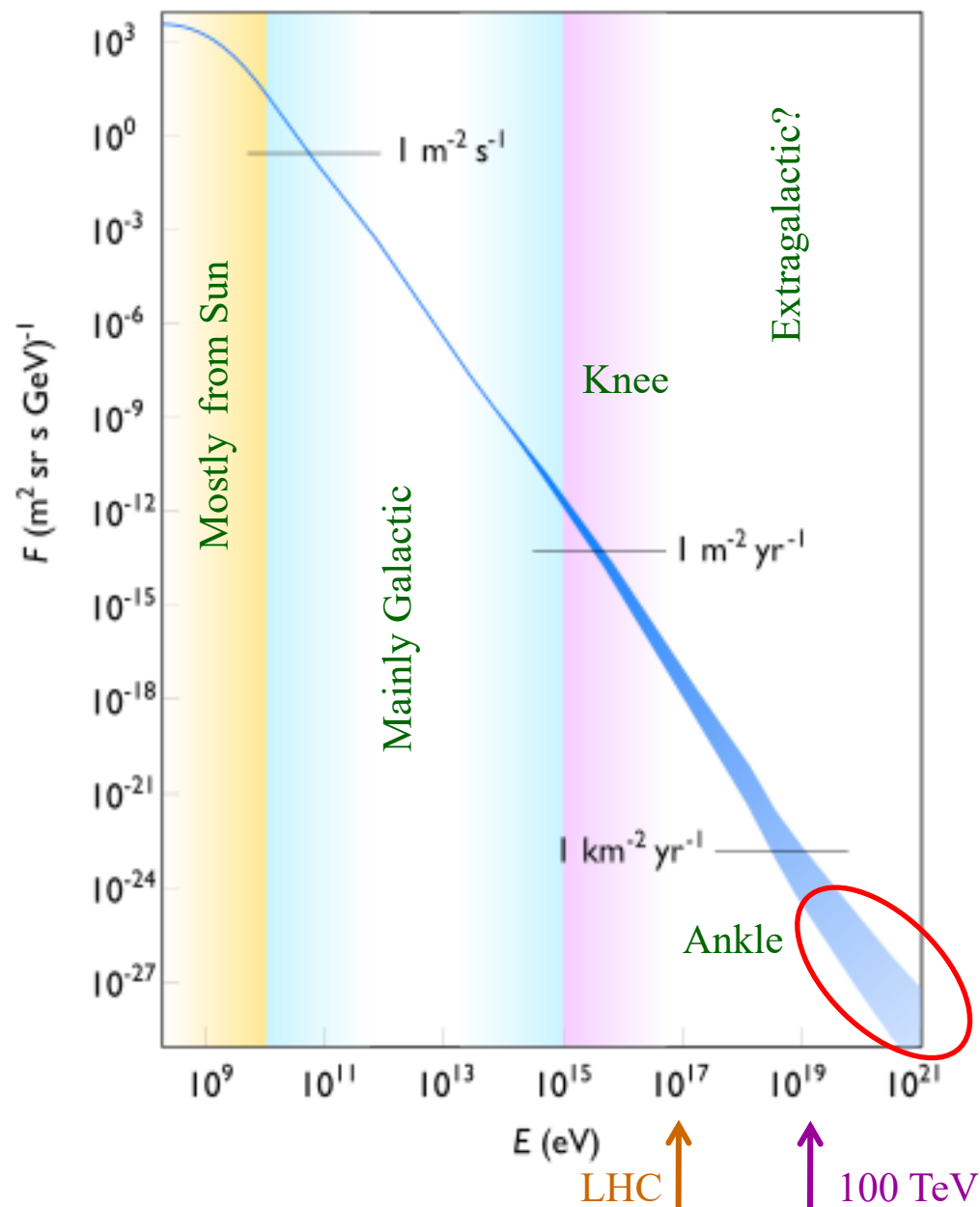
Inicia-se agora o caminho para novos aceleradores (em estudo o FCC)

E muito R&D e desafios tecnológicos a vencer !



Raios cósmicos carregados

Viktor Hess, 1912



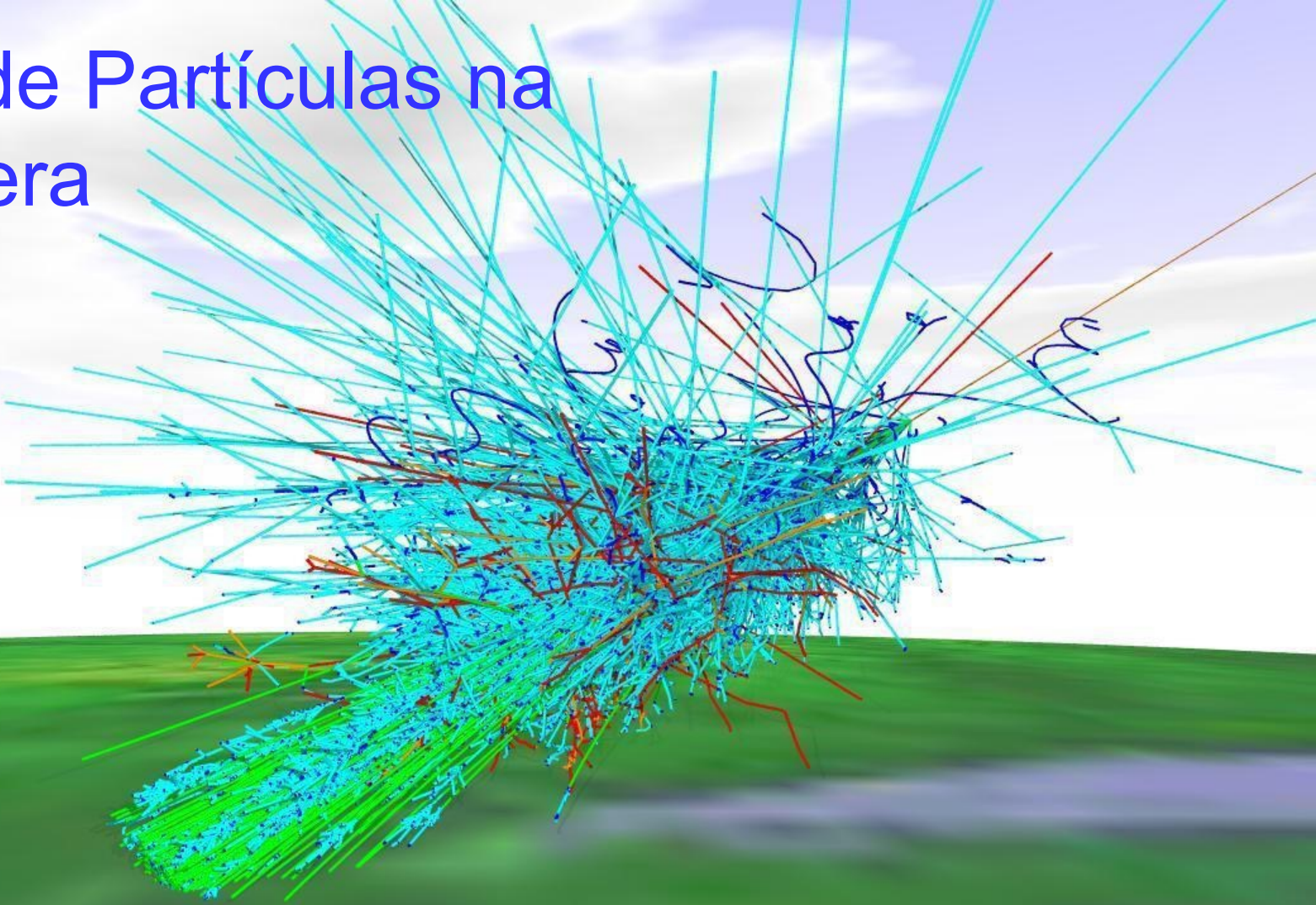
$$\frac{dN}{dE} \propto E^{-\alpha}$$

$$\alpha = \begin{cases} 2.7 & E < 10^{16} \\ 3.0 & 10^{16} < E < 10^{18} \\ 2.7? & E > 10^{18} \end{cases}$$

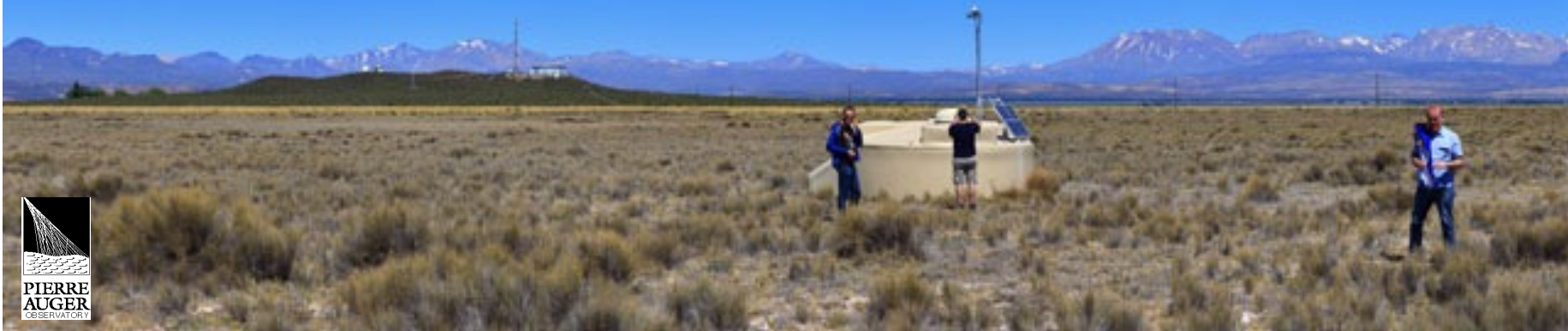
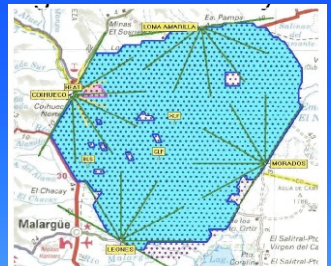
Um LHC do tamanho da órbita de Mercúrio !!!



Física de Partículas na atmosfera

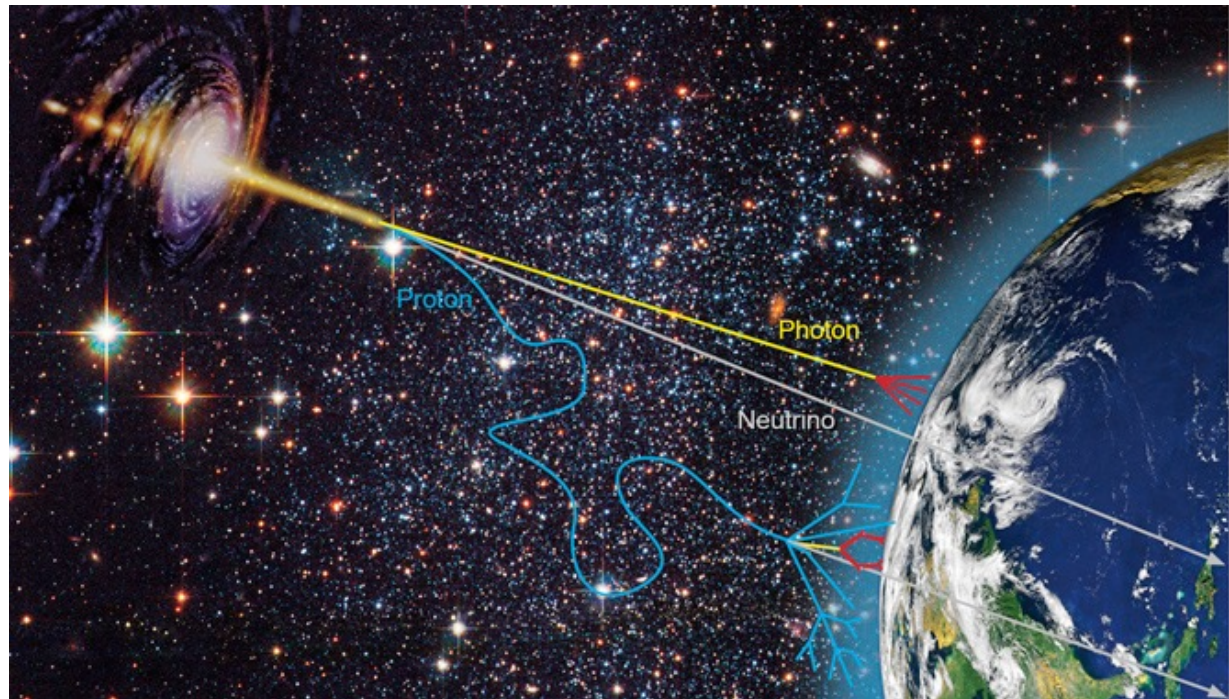


Na pampa argentina

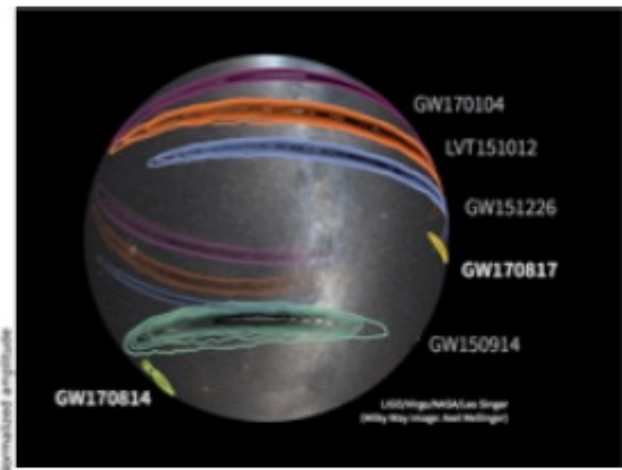
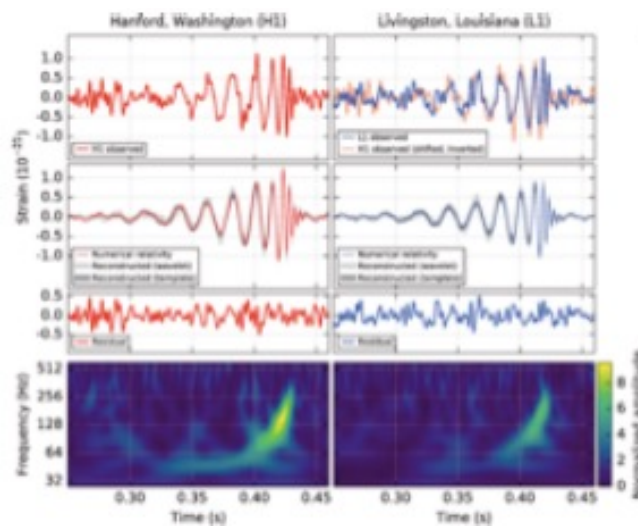


Mensageiros do Universo

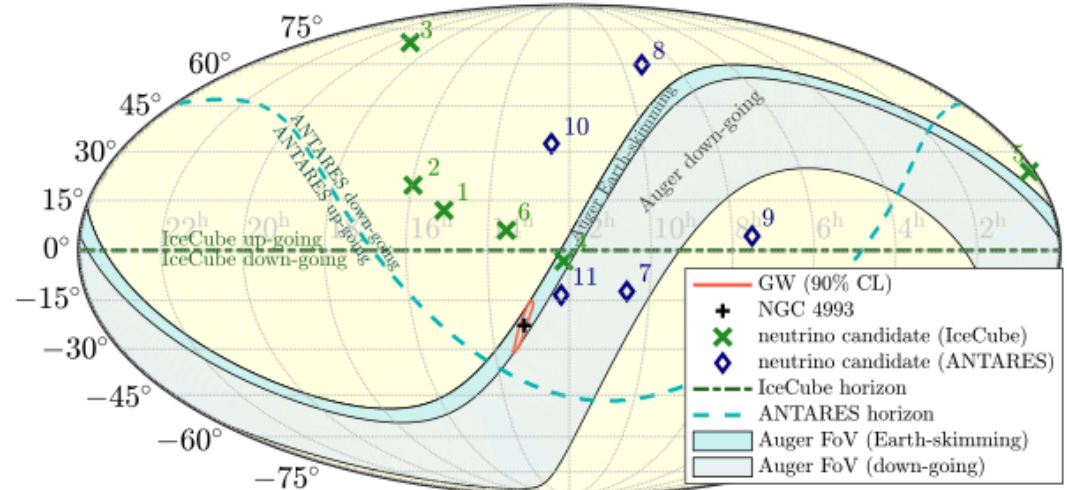
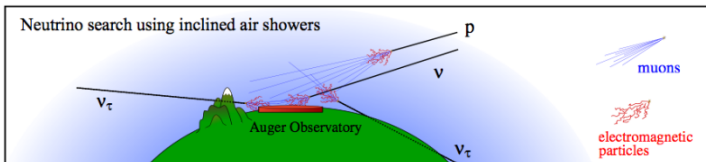
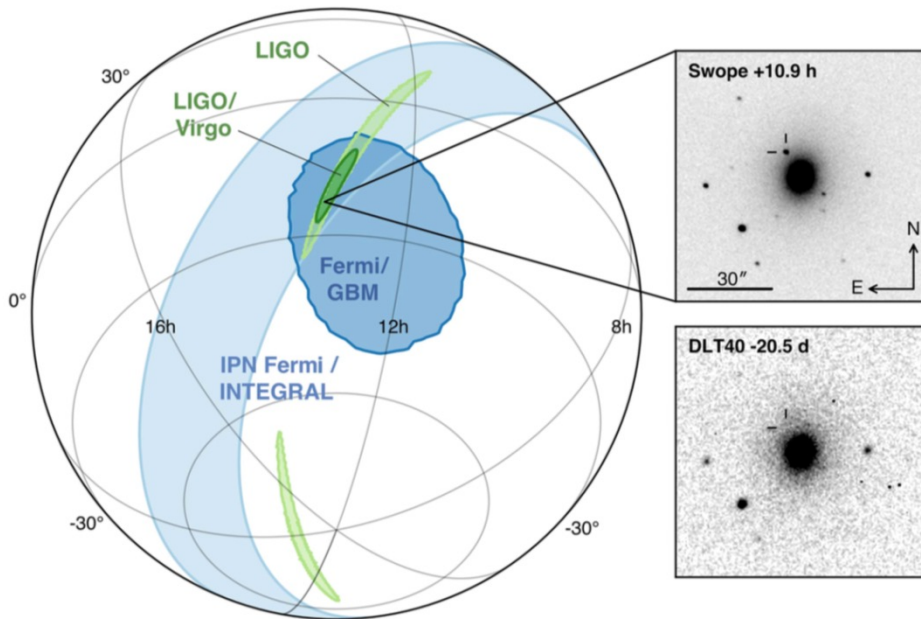
γ , p, nuclei, ν



GW

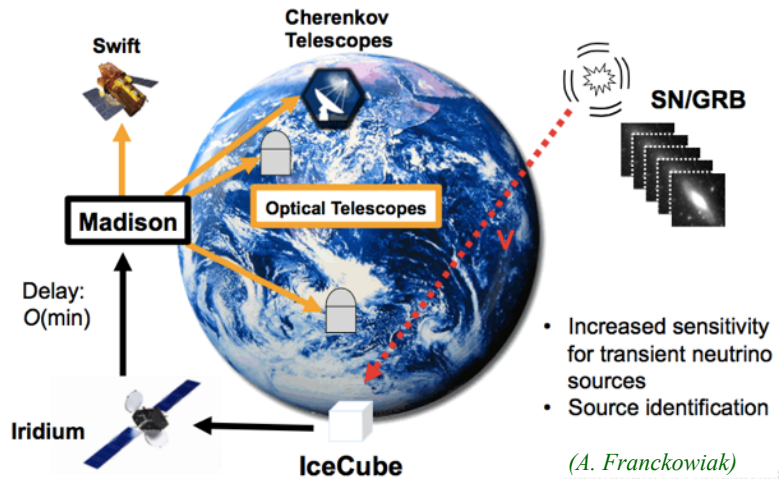


GW170817



A primeira observação
“multimessenger” da
fusão de duas estrelas
de neutrões

A primeira fonte de neutrinos astrovísicos de alta energia



TITLE: GCN CIRCULAR
NUMBER: 21916
SUBJECT: IceCube-170922A - IceCube observation of a high-energy neutrino candidate event
DATE: 17/09/23 01:09:26 GMT
FROM: Erik Blaufuss at U. Maryland/IceCube <blaufuss@icecube.umd.edu>

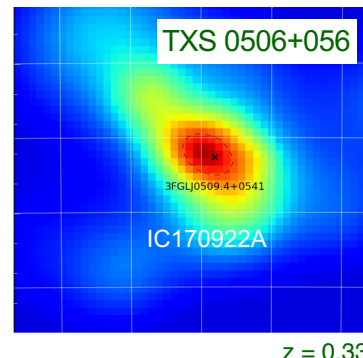
Claudio Kopper (University of Alberta) and Erik Blaufuss (University of Maryland) report on behalf of the IceCube Collaboration (<http://icecube.wisc.edu/>).

On 22 Sep, 2017 IceCube detected a track-like, very-high-energy event with a high probability of being of astrophysical origin. The event was identified by the Extremely High Energy (EHE) track event selection. The IceCube detector was in a normal operating state. EHE events typically have a neutrino interaction vertex that is outside the detector, produce a muon that traverses the detector volume, and have a high light level (a proxy for energy).

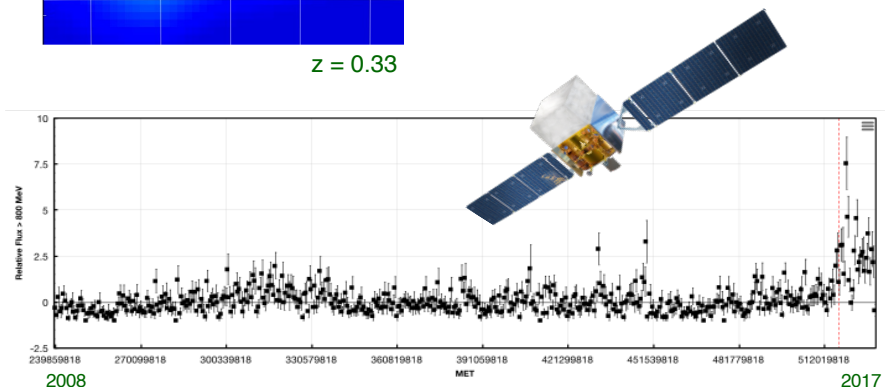
After the initial automated alert
(https://gcn.gsfc.nasa.gov/notices_amon/50579430_130033.amon), more sophisticated reconstruction algorithms have been applied offline, with the direction refined to:

Date: 22 Sep, 2017
Time: 20:54:30.43 UTC
RA: 77.43 deg (-0.80 d)
Dec: 5.72 deg (-0.40 d)

We encourage follow-up by ground and space-based instruments to help identify a possible astrophysical source for the candidate neutrino.



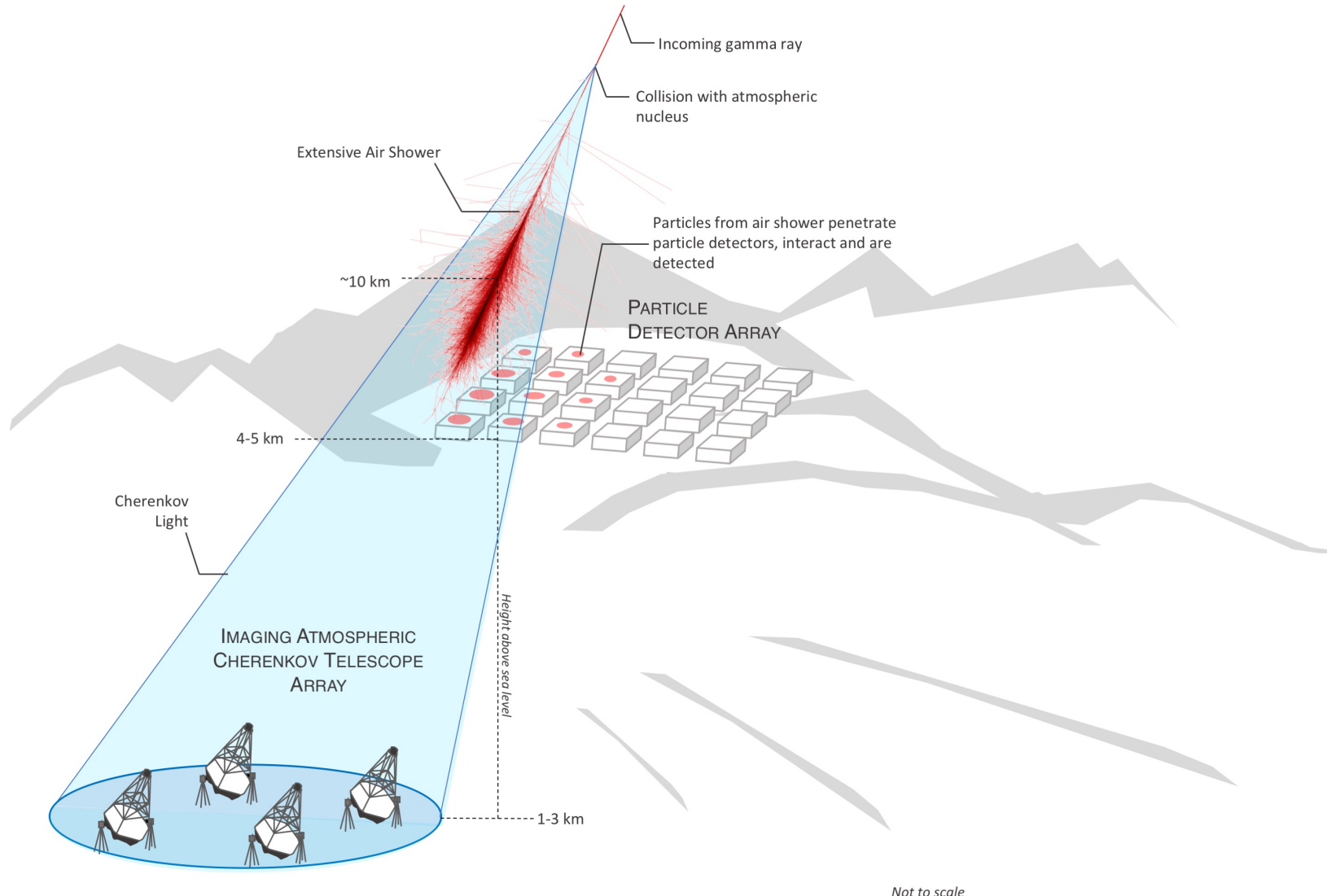
MAGIC: flare $E > 100$ GeV



FERMI: flare (found 6 days later)

IceCube 1709922A, publications in preparation

Detectar fotões no alto das montanhas ..

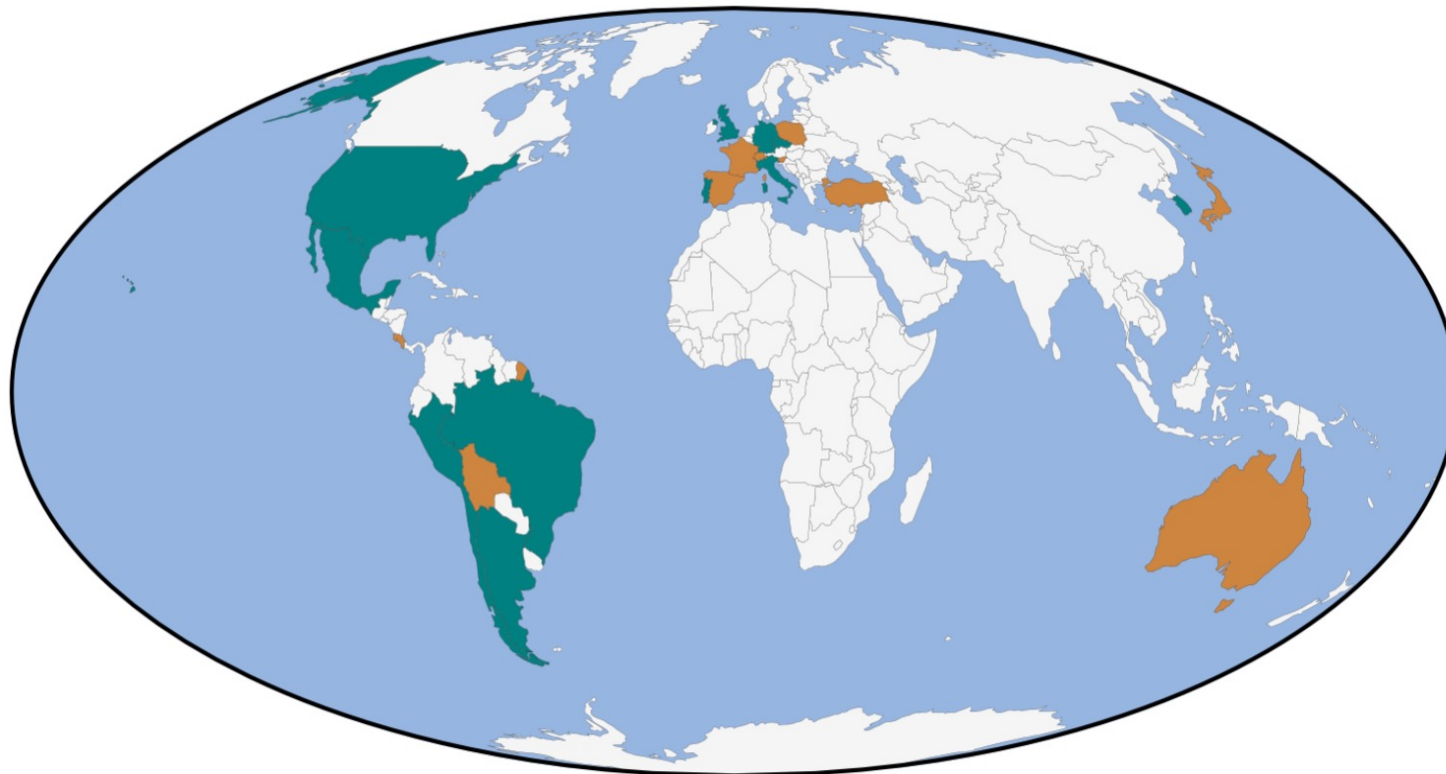


SWGO

Southern Wide-field Gamma-ray Observatory



The Southern Wide-field Gamma-ray Observatory



Countries in SWGO

Institutes

Argentina*, Brazil, Chile,
Czech Republic,
Germany*, Italy, Mexico,
Peru, Portugal, South
Korea, United Kingdom,
United States*

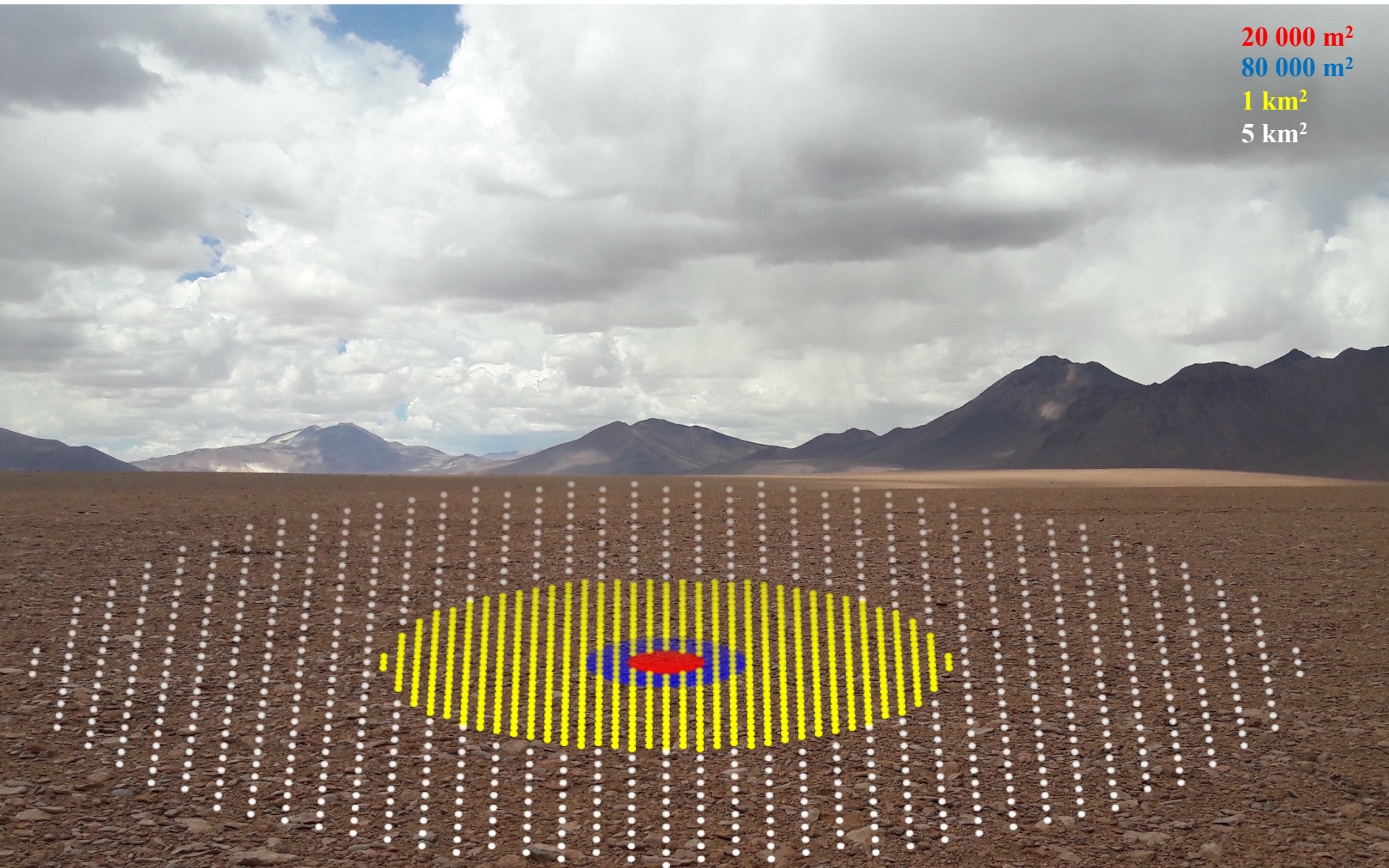
**Supporting
scientists**

Australia, Bolivia, Costa
Rica, France, Japan,
Poland, Slovenia, Spain,
Switzerland, Turkey

**also supporting
scientists*

100 + 32 científas, 53 institutos, 13 países

Olhar para o centro da galáxia e para o Universo a 4500-5000 m de altitude na América do Sul com um detector de fotões energéticos



Da Terra aos Céus ...



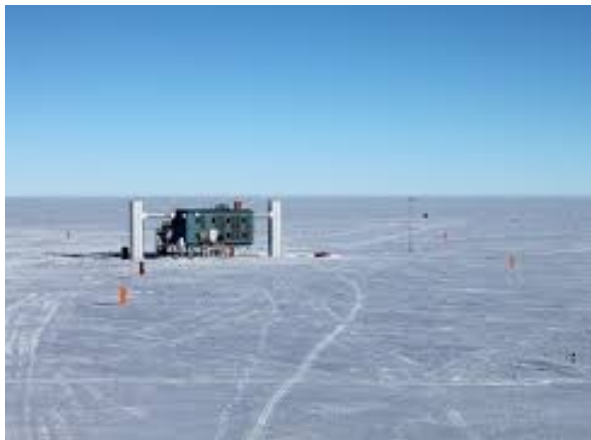
AMS



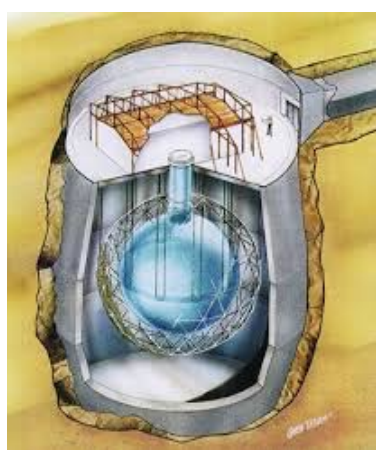
Fermi



LIGO



Ice Cube



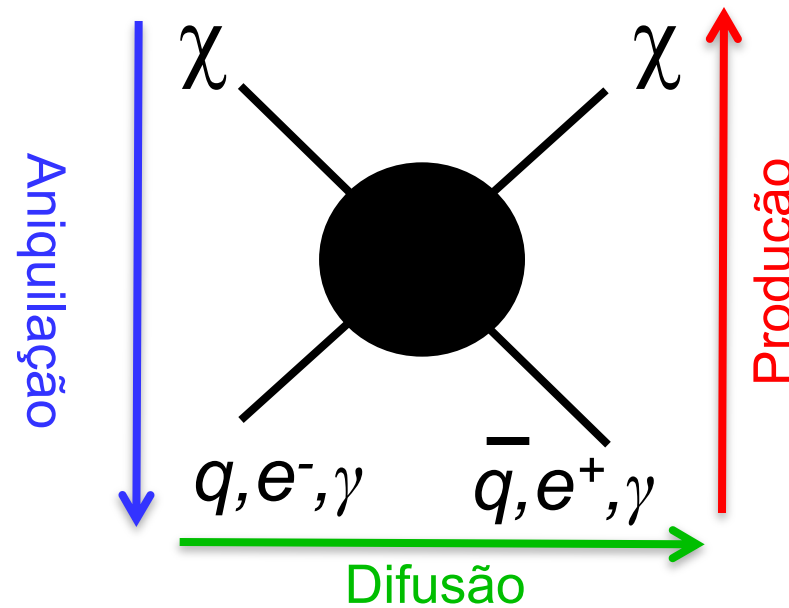
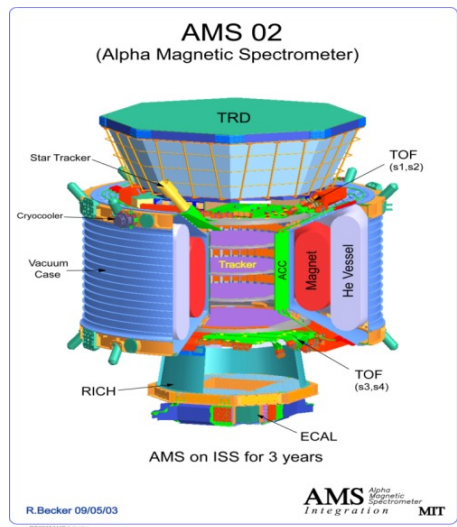
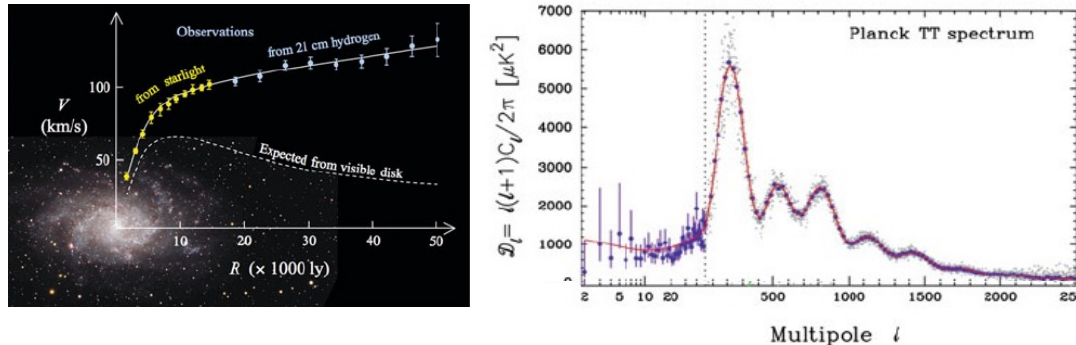
SNO⁺



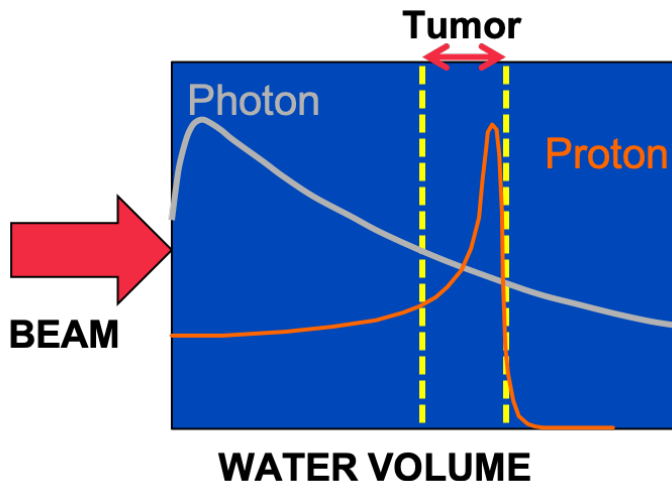
LST - CTA

E muitos mais

Matéria Escura



Terapia com Protões

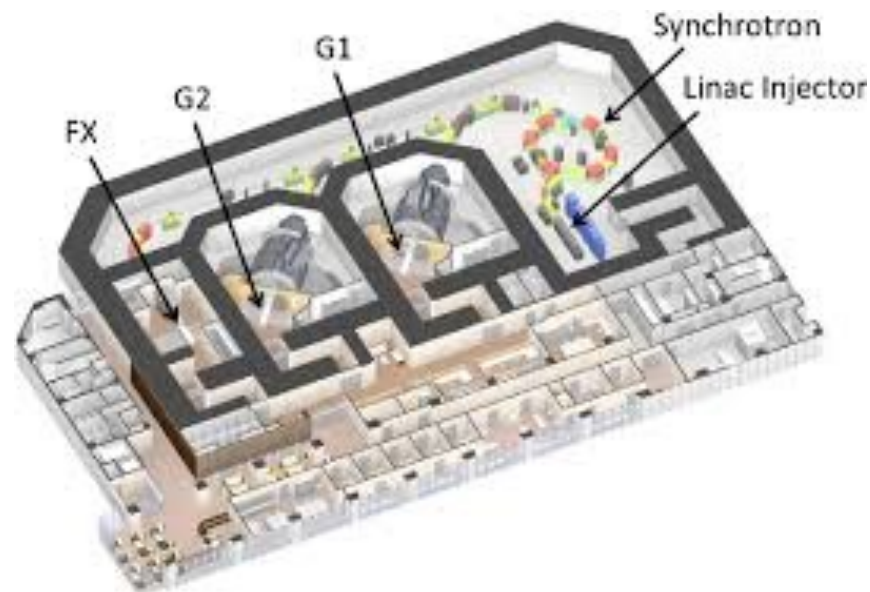


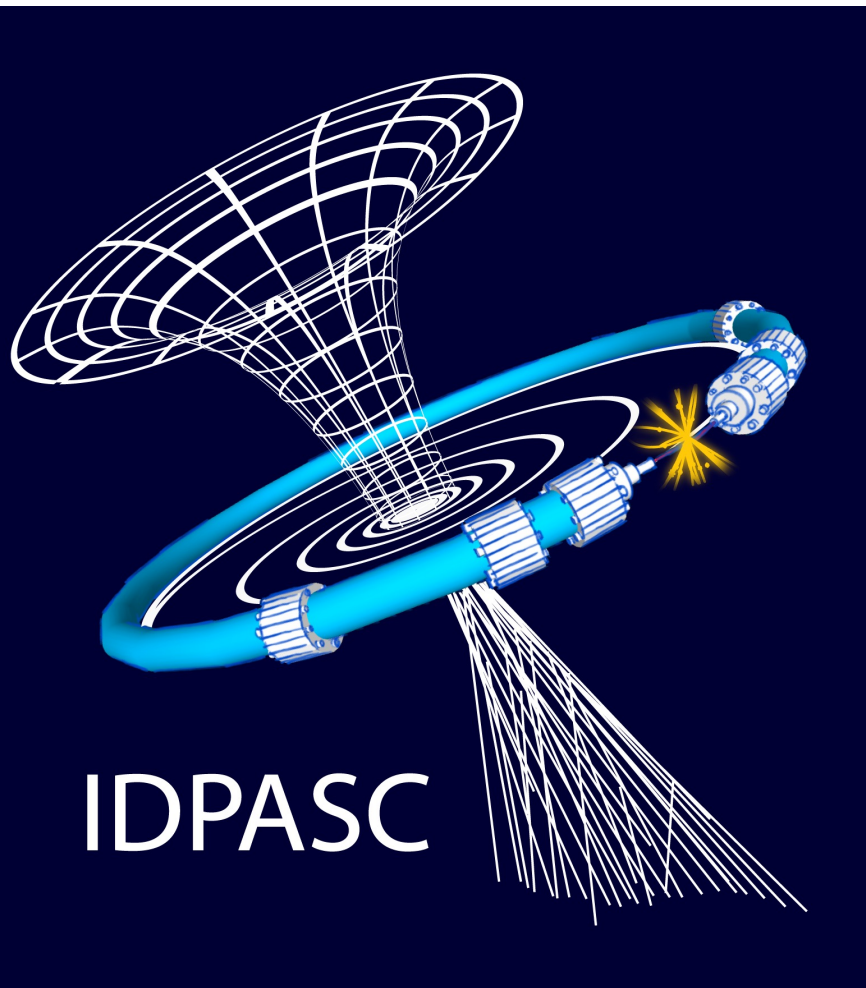
Loures (CTN): ciclotrão de 250 MeV com duas salas de tratamento e uma sala dedicada a desenvolvimento tecnológico, industrial e científico

Coimbra (ICNAS): ciclotrão de 30 MeV + LINAC 70 MeV, com uma sala de tratamento para tumores oculares e produção de radioisótopos e radio fármacos para diagnóstico e terapia

Grupo Hospitalar IPO, IST, LIP, ICNAS (UC)

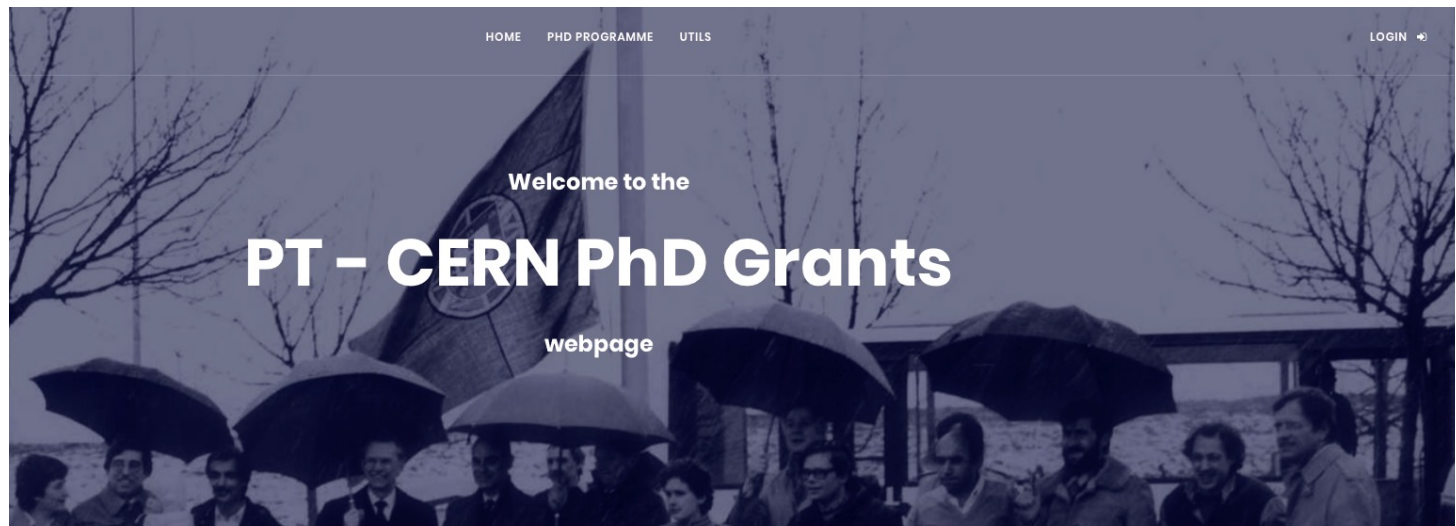
Associação Portuguesa de Proto-Terapia e Tecnologias Avançadas para a Prevenção e Tratamento do Cancro (ProtoTera)





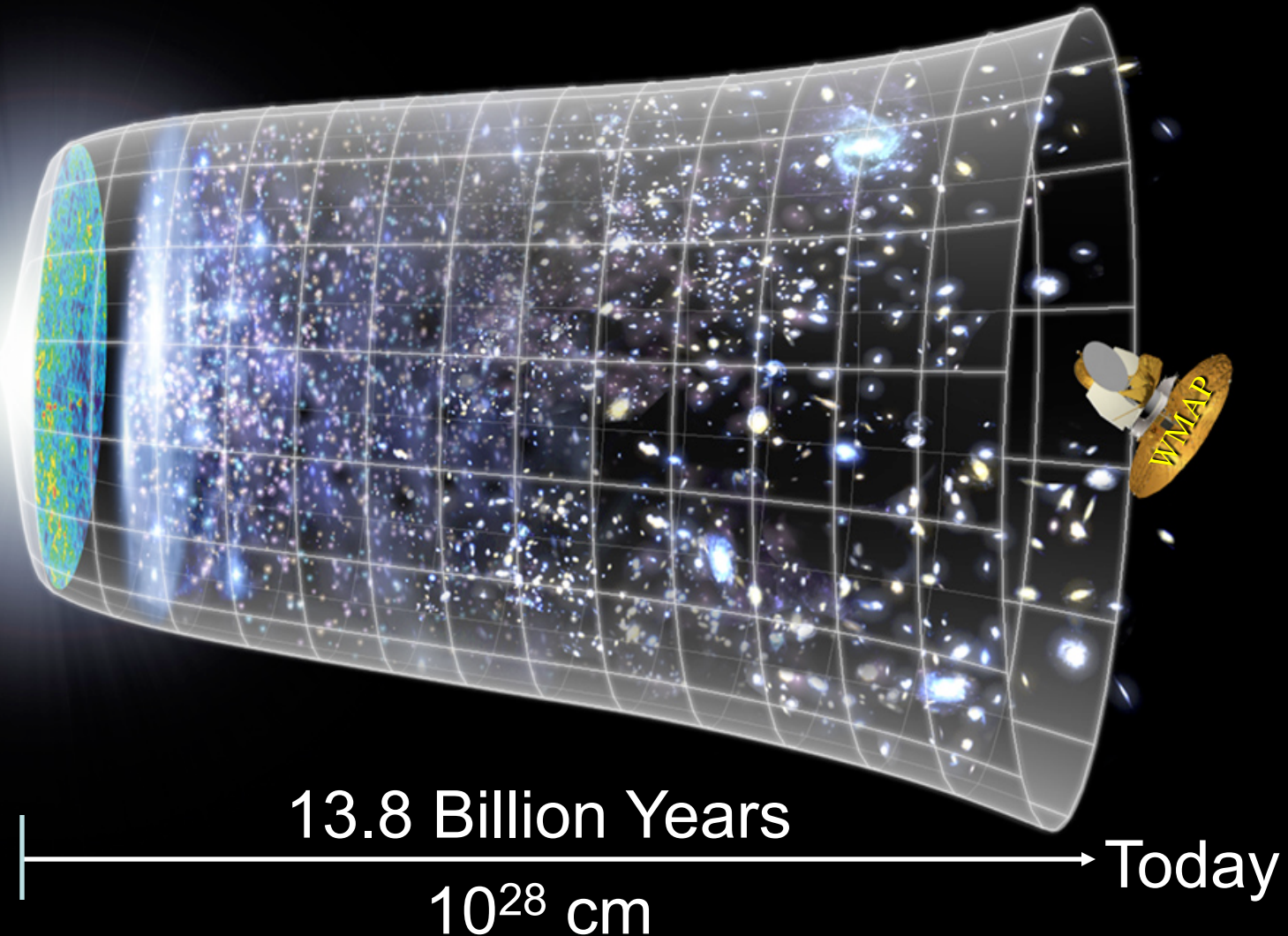
International Doctorate Network in Particle Physics, Astrophysics and Cosmology

Bolsas de Doutoramento



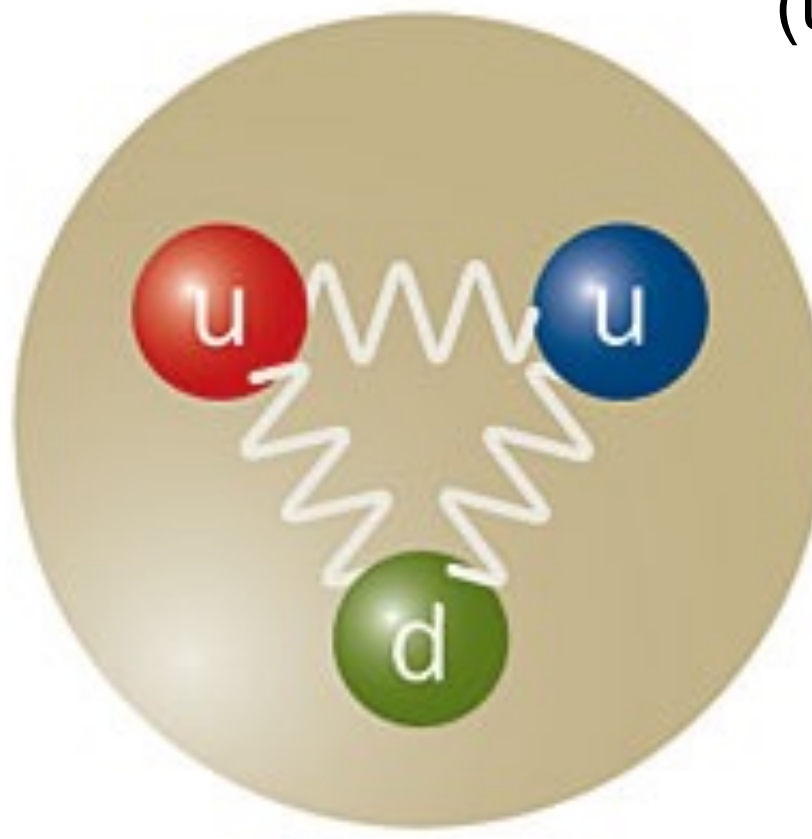
O Universo para compreender, ...

Big Bang



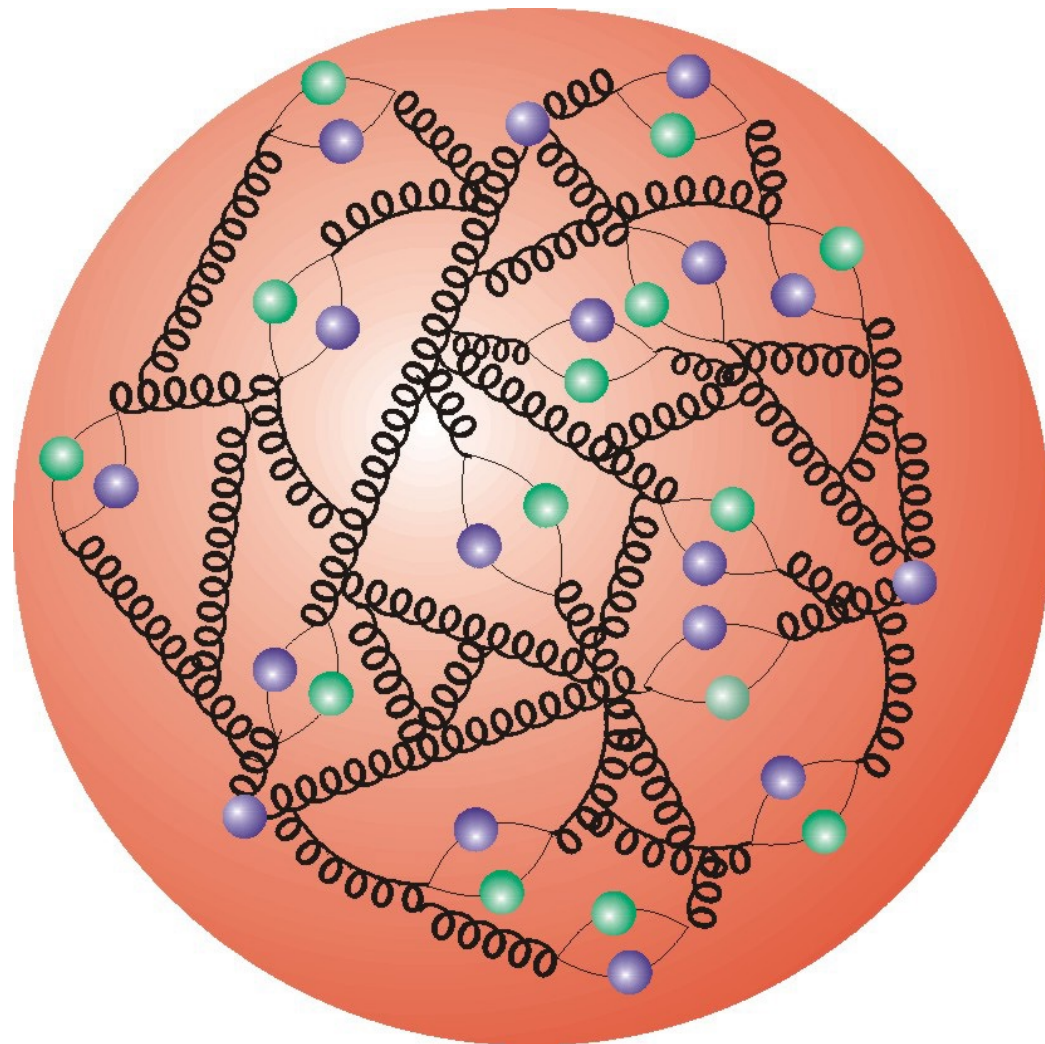
O Protão

(uud)



10^{-14} m

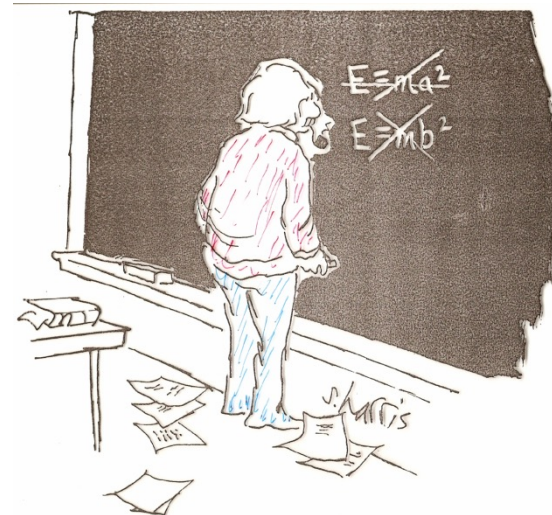
O Protão



A massa do Protão



$$M = \sum m_{\text{quarks}} + E_{\text{campo}}/c^2$$



A massa do Protão

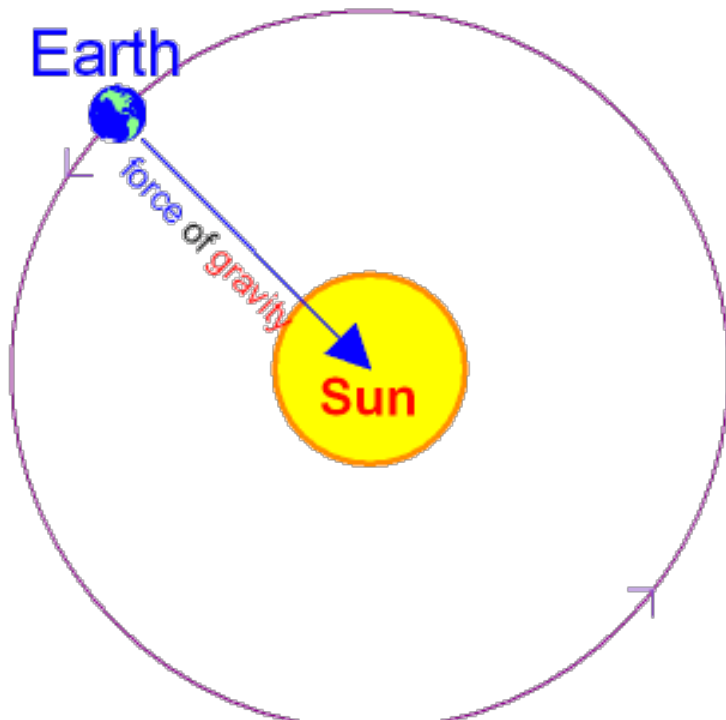


$$M = \sum m_{\text{quarks}} + E_{\text{campo}}/c^2$$

$$938 \sim (15 + 925) \text{ MeV}/c^2$$

$$1 \text{ MeV}/c^2 \sim 1.8 \cdot 10^{-30} \text{ Kg}$$

A massa do Sol

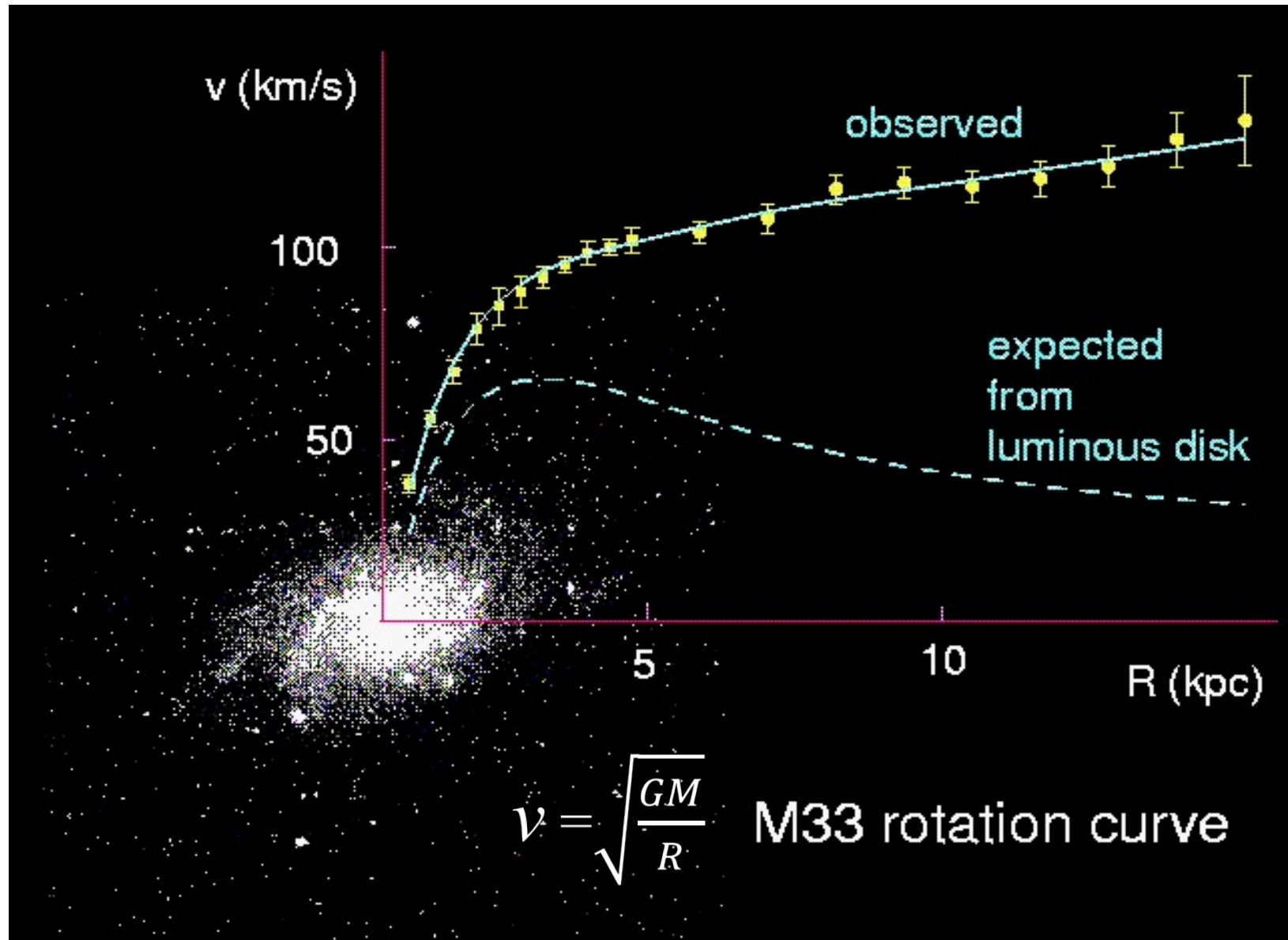


$$F_c = \frac{m v^2}{r}$$

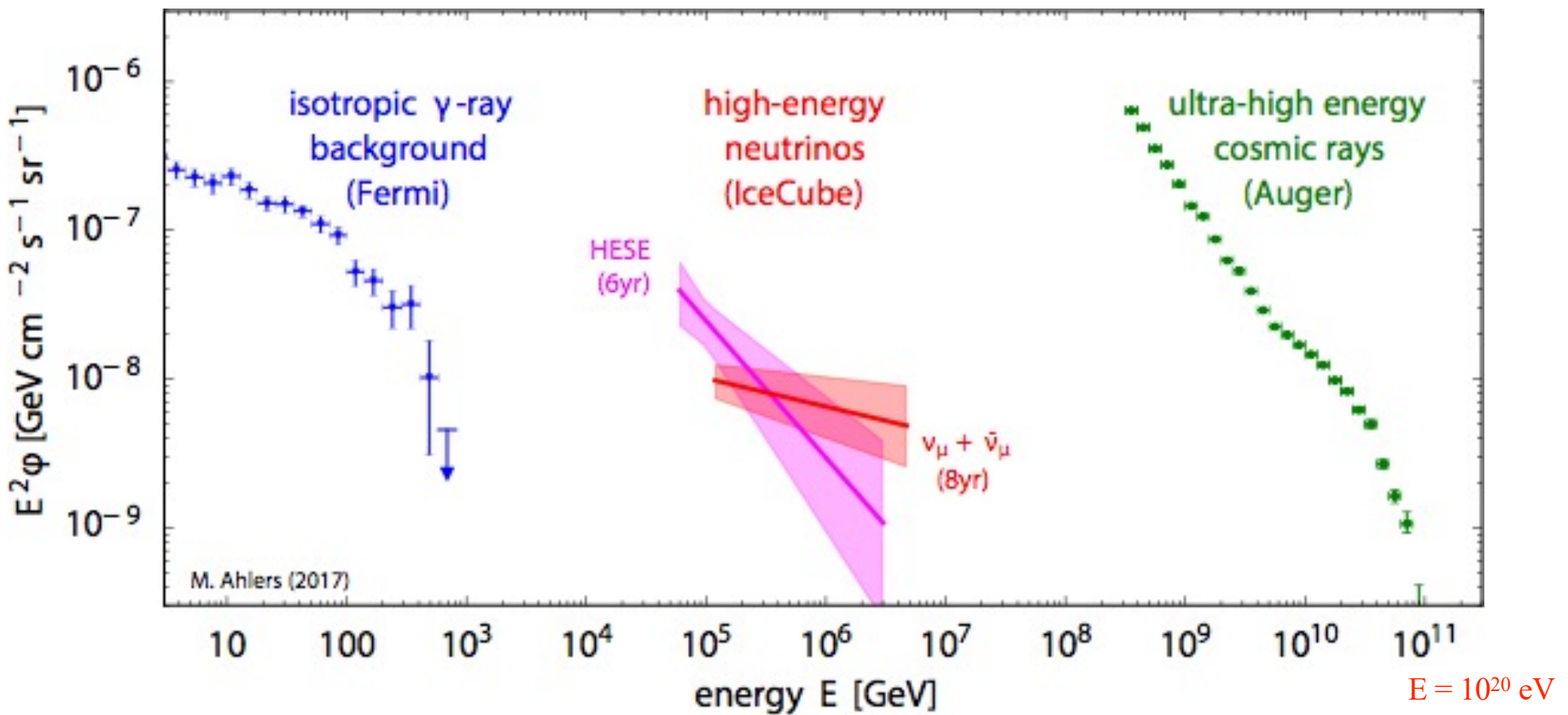
$$\frac{m_T v^2}{R} \approx G \frac{m_T M_S}{R^2}$$

$$M_S \sim 1.98 \cdot 10^{30} \text{ kg}$$

A velocidade de rotação das estrelas periféricas

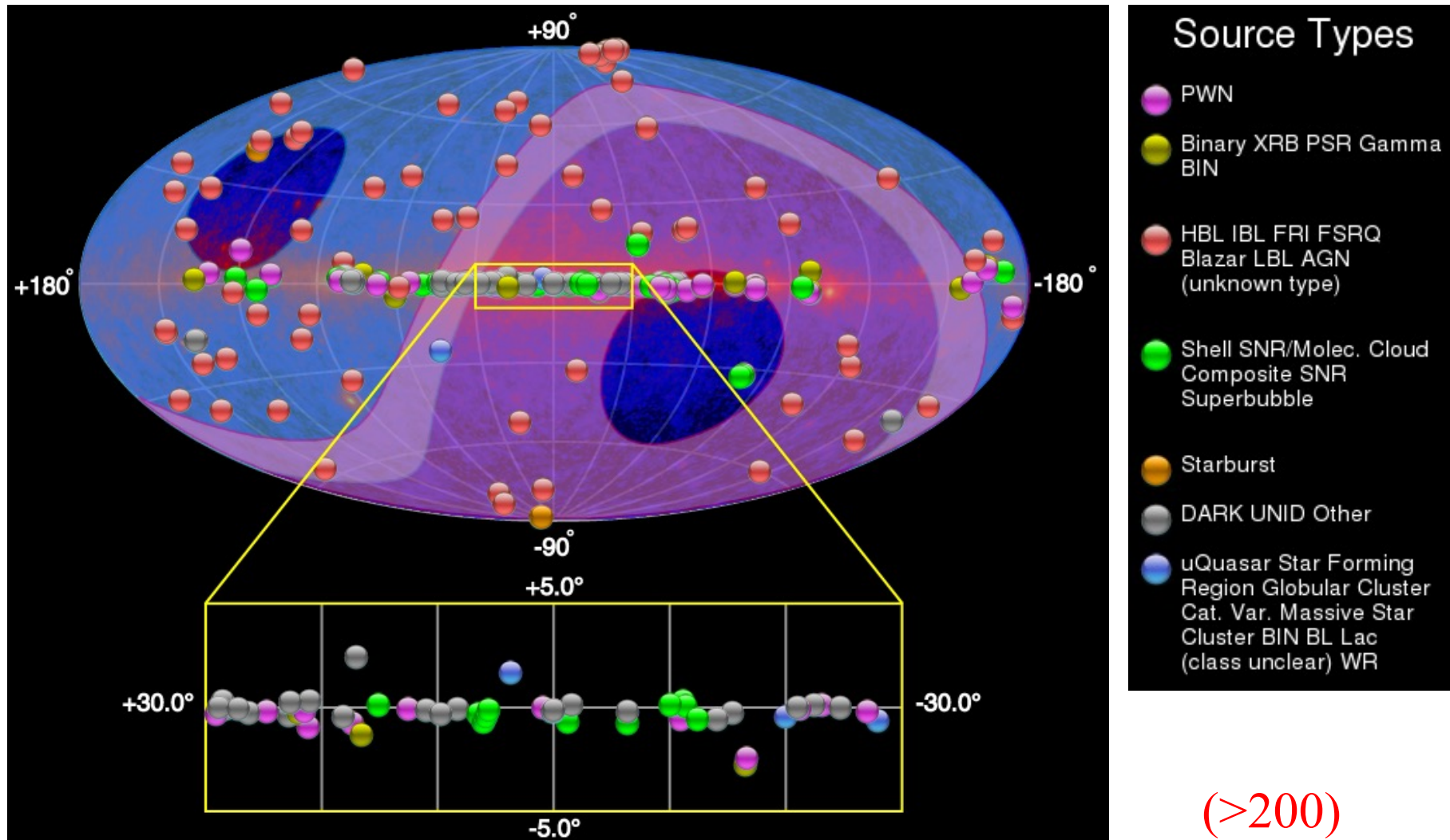


The Universe at the highest energies !



Energy density per decade similar in all three messenger particles

Fontes raios gamma de alta energia (TeV)



As bolhas de Fermi

